

97

29

UNIVERSIDAD NACIONAL AUTONOMA DE MEXICO

FACULTAD DE CIENCIAS

BIOLOGIA

CARACTERIZACION DEL METALOCROMICO ZINCON
(ACIDO 2-CARBOXI-2'-HIDROXI-5'-SULFOFORMAZILEBENCENO)
Y SU USO EN SISTEMAS BIOLOGICOS

Tesis que para obtener el titulo de Biologa presenta

ELENA MARIA HILARIO ANDRADE

Mexico, D.F.

1990

FALLA DE ORIGEN



UNAM – Dirección General de Bibliotecas Tesis Digitales Restricciones de uso

DERECHOS RESERVADOS © PROHIBIDA SU REPRODUCCIÓN TOTAL O PARCIAL

Todo el material contenido en esta tesis está protegido por la Ley Federal del Derecho de Autor (LFDA) de los Estados Unidos Mexicanos (México).

El uso de imágenes, fragmentos de videos, y demás material que sea objeto de protección de los derechos de autor, será exclusivamente para fines educativos e informativos y deberá citar la fuente donde la obtuvo mencionando el autor o autores. Cualquier uso distinto como el lucro, reproducción, edición o modificación, será perseguido y sancionado por el respectivo titular de los Derechos de Autor.

INDICE

RESUMEN

ABREVIATURAS

CAPITULO 1 GENERALIDADES

1.1 Importancia del Zinc en Biología	3
1.1.1 Clasificación de los metales	5
1.2 Métodos analíticos para cuantificar Zinc	6
1.3 Indicadores metalocrómicos	
1.3.1 Definición	12
1.3.2 Formación del complejo indicador metalocrómico-metal	12
1.3.3 Cambios de color debido a la formación del complejo	13
1.3.4 Características biológicamente útiles de los metalocrómicos	14
1.3.5 Indicadores metalocrómicos utilizados en Química Analítica y Biología	17
1.3.6 Estudios sobre el metalocrómico Zincon	18
1.4 Objetivo	21

CAPITULO 2 MATERIALES Y METODOS

2.1 Preparación de soluciones	
2.1.1 Soluciones del metalocrómico Zincon	23
2.1.2 Soluciones amortiguadoras, de agentes quelantes y iones metálicos	23
2.2 Obtención de las constantes de asociación, disociación y coeficiente de extinción molar	24
2.2.1 Principios de espectrofotometría	25
2.2.2 Espectrofotometría de doble haz luminoso	26
2.3 Partición en solventes orgánicos	29
2.4 Preparación de membranas modelo (liposomas)	31
2.5 Preparación de membranas biológicas	
2.5.1 Mitochondrias de corazón de res	32
2.5.2 Saccharomyces cerevisiae	32
2.5.3 Rhodospirillum rubrum: células y cromatóforos	33
2.5.4 Cuantificación de proteína y bacterioclorofila	33
2.5.5 Interacción con membranas biológicas	34
2.6 Incorporación de Zn^{2+} en cromatóforos de <u>R. rubrum</u> y dializados contra Zincon	34

CAPITULO 3 RESULTADOS Y DISCUSION

3.1 Espectros diferenciales de los complejos metal-Zincon	38
3.2 Curvas de pH para Zincon, Zn-Zincon y Cu-Zincon con diferentes amortiguadores	48
3.3 Reversibilidad de los complejos Zn-Zincon y Cu-Zincon	52
3.4 Reparto en solventes orgánicos	56
3.5 Interacción con membranas modelo	59
3.6 Interacción con membranas biológicas	62
3.7 Incorporación de Zn^{2+} a cromatóforos	62

CONCLUSIONES

REFERENCIAS	71
-------------	----

RESUMEN

En este trabajo se reporta la caracterización detallada del metalocrómico Zincon. El Zincon forma complejo con Zn^{2+} , Cu^{2+} y Hg^{2+} , produciendo cambios de color detectables por espectrofotometría; los complejos que forma con Fe^{2+} , Mn^{2+} y Ca^{2+} también son detectables por espectrofotometría ya que producen una disminución en la absorbancia de las soluciones de Zincon. El Mg^{2+} no interactúa con el Zincon, ni cambia sus características espectroscópicas.

La presencia de Ca^{2+} y Mg^{2+} no interfieren con las características espetrales del complejo Zn-Zincon. Se determinaron las constantes de disociación, asociación y los diferentes complejos que forma el Zincon. Los valores de $\Delta\epsilon$ son muy grandes, en el orden de 6 a $45 \text{ mM}^{-1} \text{ cm}^{-1}$, por lo que este método espectrofotométrico es muy sensible.

El complejo Zn-Zincon es completamente reversible, mientras que el complejo Cu-Zincon lo es parcialmente. El Zincon libre y los complejos Zn-Zincon y Cu-Zincon no se reparten a solventes orgánicos; el Zincon no atraviesa la membrana de liposomas ni interacciona con membranas biológicas.

Es posible utilizar el Zincon para medir la velocidad de salida de Zn^{2+} al dializar muestras biológicas.

Todas estas características hacen del metalocrómico Zincon un reactivo muy útil en el estudio de sistemas biológicos.

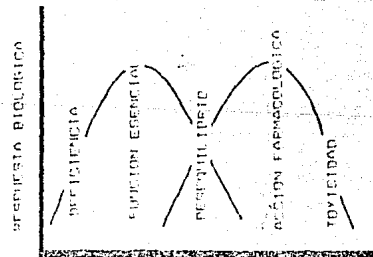
ABREVIATURAS

Amax.	longitud de onda de absorbancia máxima
BChl	bacterioclorofila
CAPS	ácido (3-(ciclohexilamino)-1-propano sulfónico)
CHEB	ácido (2-(N-ciclohexilamino)-etanosulfónico)
conc.	concentración
EDTA	ácido etilendiaminotetraacético
EGTA	ácido etilenglicol-bis(β-aminoetiléter) N, N, N', N'-tetraacético
g	fuerza de la gravedad 9.8 m s ⁻²
MES	ácido (2-(N-Morfolino)etanosulfónico)
MOPS	ácido (3-(N-Morfolino)propanosulfónico)
nm	nanómetros
NTA	ácido nitrildriacético
p.e.	punto de ebullición
p.f.	punto de fusión
p.i.	punto isosbástico
PIPEG	(ácido (Piperazin-N,N'-bis(2-etanosulfónico)); ácido 1,4-Piperazinedietanosulfónico)
PM	peso molecular
prot	Proteína
rpm	revoluciones por minuto
TRIS	hidroximetilaminometano
Triton X-100	Octil fenoxy poliestoxietanol
̄V	velocidad promedio de salida de Zn ²⁺
vol.	volumen
Zincon	ácido 2-carboxi-2' hidroxi-5'sulfoformazilbenceno

CAPITULO I GENERALIDADES

1.1 Importancia del Zinc en Biología

La importancia del zinc dentro de los procesos biológicos es de capital importancia cuando hablamos de cambios, cambios, los cambios que se están produciendo en el organismo, sobre todo participando con los replicantes. Por ejemplo, en 1986, en Sídney se realizó un Seminario sobre la participación de los minerales en los procesos de replicación para su utilización. En la clasificación del Zinc como elemento traza, basado en la concentración en las plantas, se observa que es relativamente, ya que con las distintas manifestaciones que tiene el Zinc en la planta, es muy difícil establecer cuál es que se considera que es la concentración óptima. Los datos que se tienen, han sido obtenidos en diferentes países y en diferentes tipos de plantas, y en los diferentes tipos de suelos de la biología vegetal, existen variaciones y diferencias, pero lo más importante es que el Zinc es un elemento que participa en la replicación de los replicantes, en la multiplicación de los replicantes, en la propagación de los replicantes, tanto en su multiplicación, en su transformación, en su integración, en su expresión, en su regulación, en su función, en su actividad, en su función fisiológica del Zinc y otras manifestaciones que tienen que ver con la multiplicación de los replicantes.



También, dentro de las manifestaciones de los replicantes, se observa que el Zinc es un elemento que participa en la multiplicación de los replicantes, en la transformación de los replicantes, en la integración de los replicantes, en la regulación de los replicantes, en la actividad de los replicantes, en la función de los replicantes, en la función fisiológica del Zinc y otras manifestaciones que tienen que ver con la multiplicación de los replicantes. Se observa que el Zinc es un elemento que participa en la multiplicación de los replicantes, en la transformación de los replicantes, en la integración de los replicantes, en la regulación de los replicantes, en la actividad de los replicantes, en la función de los replicantes, en la función fisiológica del Zinc y otras manifestaciones que tienen que ver con la multiplicación de los replicantes.

que en la actualidad se ha hecho una labor de selección de las variedades que mejor se adaptan a la situación actual del país, lo que ha permitido obtener resultados más satisfactorios. Sin embargo, es necesario recordar que el desarrollo de la agricultura en el Perú es aún muy limitado y que existe un gran número de factores que afectan negativamente el crecimiento de la producción agrícola. Por ejemplo, la falta de infraestructura rural, la escasez de tierra, la falta de capital y la falta de conocimientos técnicos son solo algunos de los factores que limitan el desarrollo de la agricultura en el Perú. Además, el sector público tiene un papel importante en la promoción y desarrollo de la agricultura, ya que es responsable de la elaboración de políticas y planes para el sector, así como de la ejecución de programas y proyectos que apoyen el desarrollo rural. Sin embargo, el sector público también tiene sus desventajas, como la burocracia, la falta de eficiencia y la falta de transparencia en la ejecución de los programas. Por lo tanto, es necesario trabajar en todos los sectores para promover el desarrollo integral del sector agrícola en el Perú.

que la actividad enzimática es de tipo oxidativo, ya que se observó que el cambio de coloración del sustrato o reactivo es de tipo óxido-reducción. Los enzimas que tienen actividad hidrolítica son las amilasas, lipasas, nucleasas, proteasas, etc., las cuales realizan una actividad catalítica enzimática. Wallenius y Gellman (1986) mencionan que los enzimas oxidantes, tales como las peroxidasa que se presentan tanto en los vegetales como en los animales, tienen la capacidad de oxidar compuestos orgánicos y polifenoles, entre otros, en su actividad enzimática, sin embargo, este proceso es más lento que el de las enzimas que realizan actividad hidrolítica. Por ejemplo, las amilasas y lipasas tienen actividad hidrolítica en su actividad enzimática, sin embargo, la actividad hidrolítica es más lenta que la actividad oxidativa de las citocromas de los microorganismos. La actividad oxidativa de las citocromas es más rápida que la actividad hidrolítica de las amilasas y lipasas, por lo que la actividad hidrolítica de las amilasas y lipasas es más lenta que la actividad oxidativa de las citocromas. Ello es debido a que las amilasas y lipasas tienen actividad hidrolítica en su actividad enzimática, sin embargo, la actividad hidrolítica es más lenta que la actividad oxidativa de las citocromas de los microorganismos. La actividad hidrolítica de las amilasas y lipasas es más lenta que la actividad oxidativa de las citocromas de los microorganismos.

Tabla 1.1. Metaloenzimas con Zinco

Metabolismo	Clase I	Clase II	Clase III
Metabolismo de hidroperóxidos y óxidos reductores			
Oxidoreductasa			
Clase I OXIDOREDUCTASAS			
Aumento de hidroxigenación			
Alimentación			
Extracción			
Transporte			
Excreción			
Extracción y excreción			
Clase II TRANSFERASAS			
Alimentación			
Extracción			
Transporte			
Excreción			
Extracción y excreción			
Clase III HIDROLASAS			
Alimentación			
Extracción			
Transporte			
Excreción			
Extracción y excreción			
Catábolismo			
Alimentación			
Extracción			
Transporte			
Excreción			
Extracción y excreción			

que se ha de tener en cuenta es que el efecto de la actividad de los microorganismos en el suelo es más intenso en las capas superficiales.

Clase III LISASAS

Este tipo de suelos se caracteriza por la ausencia de estratos horizontales o de capas bien definidas. La superficie del suelo es lisa y uniforme. Los materiales que lo componen están bien mezclados y no se observan diferencias entre la parte superficial y la profundidad.

Clase V ISOMERASAS

Este tipo de suelos se caracteriza por la presencia de estratos horizontales bien definidos.

Clase VI LISASAS

Este tipo de suelos se caracteriza por la ausencia de estratos horizontales o de capas bien definidas. La superficie del suelo es lisa y uniforme. Los materiales que lo componen están bien mezclados y no se observan diferencias entre la parte superficial y la profundidad.

Función: La función principal de los suelos es la conservación de la tierra y el agua. Los suelos son responsables de la conservación de la tierra y del agua en las zonas rurales y urbanas. Los suelos también tienen una función importante en la producción agrícola y forestal.

Características principales: Los suelos tienen características principales que los distinguen de otros tipos de suelos. Estas características incluyen la textura, la coloración, la humedad, la fertilidad y la disponibilidad de agua.

Tipos de suelos: Los suelos se clasifican en diferentes tipos basados en sus características principales. Los tipos más comunes de suelos incluyen los suelos arcillosos, los suelos arenosos, los suelos silíceos y los suelos calizos.

Características secundarias: Los suelos tienen características secundarias que dependen de su ubicación y del tipo de vegetación que crece en ellos. Estas características incluyen la presencia de minerales, la disponibilidad de agua y la disponibilidad de nutrientes.

Uso del suelo: Los suelos se utilizan para diferentes fines, como la agricultura, la ganadería, la construcción y la industria. Los suelos son muy importantes para la agricultura porque proporcionan los nutrientes necesarios para el crecimiento de las plantas.

Protección del suelo: Es importante proteger los suelos para garantizar su durabilidad y su productividad. Los suelos son un recurso limitado y su deterioro puede tener consecuencias graves para la agricultura y la economía.

Conclusiones: Los suelos son un recurso fundamental para la agricultura y la economía. Los suelos son un recurso limitado y su deterioro puede tener consecuencias graves para la agricultura y la economía.

Referencias: Los suelos son un recurso fundamental para la agricultura y la economía. Los suelos son un recurso limitado y su deterioro puede tener consecuencias graves para la agricultura y la economía.

Conclusiones: Los suelos son un recurso fundamental para la agricultura y la economía. Los suelos son un recurso limitado y su deterioro puede tener consecuencias graves para la agricultura y la economía.

Referencias: Los suelos son un recurso fundamental para la agricultura y la economía. Los suelos son un recurso limitado y su deterioro puede tener consecuencias graves para la agricultura y la economía.

Conclusiones: Los suelos son un recurso fundamental para la agricultura y la economía. Los suelos son un recurso limitado y su deterioro puede tener consecuencias graves para la agricultura y la economía.

1.1.1 Clasificación de los metales.

Los metales tienen una gran variedad de propiedades que les permite ser utilizados en muchas aplicaciones. La clasificación de los metales se basa en sus propiedades y se divide en tres grandes grupos:

- **Metálicos:** Los metales más comunes y más utilizados, como el hierro, el cobre y el aluminio. Estos tienen una gran resistencia a la corrosión y una alta conductividad eléctrica.
- **No metálicos:** Los no metálicos son materiales que no tienen las características de los metales, como el vidrio, el plástico y el cuarzo. Estos tienen una baja conductividad eléctrica y una baja resistencia a la corrosión.
- **Metales nobles:** Los metales nobles son aquellos que tienen una menor tendencia a reaccionar con otros elementos. Los más conocidos son el oro, la plata y el platino. Estos tienen una alta resistencia a la corrosión y una alta durabilidad.

Además de estas principales clasificaciones, existen otras formas de clasificar los metales, dependiendo de su uso y de sus características específicas. Por ejemplo, los metales se pueden clasificar en función de su temperatura de fusión, su densidad, su resistencia a la corrosión, su conductividad eléctrica, entre otras. También se puede clasificar los metales en función de su origen, ya sea natural o sintético. Los metales naturales se obtienen a través del procesamiento de minerales, mientras que los sintéticos se crean mediante procesos químicos o físicos.

En resumen, la clasificación de los metales es un tema complejo y diverso, que abarca una amplia gama de materiales y propiedades. Sin embargo, la comprensión de las principales clasificaciones y sus características es fundamental para entender mejor el mundo de los metales y sus aplicaciones en la industria y en la vida cotidiana.

Otra forma de clasificar los metales es según su comportamiento en el campo magnético. Los metales ferromagnéticos, como el hierro y el acero, responden a la atracción del imán, mientras que los no ferromagnéticos, como el aluminio y el cobre, no responden a la atracción del imán.

Tabla 1.2. Clasificación de los metales

Clase	Estructura electrónica	Propiedades
Metálicos simples	$1s^2 2s^2 2p^6 \dots n=1$	Alta conductividad eléctrica y térmica, alta densidad, gran resistencia a la corrosión, gran dureza y resistencia a la deformación.
Metálicos intercalados	$1s^2 2s^2 2p^6 \dots n=2$	Alta conductividad eléctrica y térmica, alta densidad, gran resistencia a la corrosión, gran dureza y resistencia a la deformación.
Metálicos compuestos	$1s^2 2s^2 2p^6 \dots n=3$	Alta conductividad eléctrica y térmica, alta densidad, gran resistencia a la corrosión, gran dureza y resistencia a la deformación.
Metálicos de transición	$1s^2 2s^2 2p^6 \dots n=4$	Alta conductividad eléctrica y térmica, alta densidad, gran resistencia a la corrosión, gran dureza y resistencia a la deformación.

En la tabla 1.2 se presentan las principales propiedades de los metales, que se clasifican en función de su estructura electrónica. Los metales simples tienen una sola capa de electrones en el último nivel de energía, los intercalados tienen dos y los compuestos tienen tres. Los metales de transición tienen cuatro capas de electrones en el último nivel de energía.

La tabla 1.2 muestra que los metales simples tienen las mejores propiedades, seguidos por los intercalados y los compuestos. Los metales de transición tienen las peores propiedades. Los metales simples tienen una alta conductividad eléctrica y térmica, una alta densidad, una gran resistencia a la corrosión, una gran dureza y una alta resistencia a la deformación. Los intercalados tienen una alta conductividad eléctrica y térmica, una alta densidad, una gran resistencia a la corrosión, una gran dureza y una alta resistencia a la deformación. Los compuestos tienen una alta conductividad eléctrica y térmica, una alta densidad, una gran resistencia a la corrosión, una gran dureza y una alta resistencia a la deformación.

Los metales simples tienen una alta conductividad eléctrica y térmica, una alta densidad, una gran resistencia a la corrosión, una gran dureza y una alta resistencia a la deformación. Los intercalados tienen una alta conductividad eléctrica y térmica, una alta densidad, una gran resistencia a la corrosión, una gran dureza y una alta resistencia a la deformación. Los compuestos tienen una alta conductividad eléctrica y térmica, una alta densidad, una gran resistencia a la corrosión, una gran dureza y una alta resistencia a la deformación.

En la tabla 1.2 se presentan las principales propiedades de los metales, que se clasifican en función de su estructura electrónica. Los metales simples tienen una sola capa de electrones en el último nivel de energía, los intercalados tienen dos y los compuestos tienen tres. Los metales de transición tienen cuatro capas de electrones en el último nivel de energía.

La tabla 1.2 muestra que los metales simples tienen las mejores propiedades, seguidos por los intercalados y los compuestos. Los metales de transición tienen las peores propiedades. Los metales simples tienen una alta conductividad eléctrica y térmica, una alta densidad, una gran resistencia a la corrosión, una gran dureza y una alta resistencia a la deformación. Los intercalados tienen una alta conductividad eléctrica y térmica, una alta densidad, una gran resistencia a la corrosión, una gran dureza y una alta resistencia a la deformación. Los compuestos tienen una alta conductividad eléctrica y térmica, una alta densidad, una gran resistencia a la corrosión, una gran dureza y una alta resistencia a la deformación.

Los metales simples tienen una alta conductividad eléctrica y térmica, una alta densidad, una gran resistencia a la corrosión, una gran dureza y una alta resistencia a la deformación. Los intercalados tienen una alta conductividad eléctrica y térmica, una alta densidad, una gran resistencia a la corrosión, una gran dureza y una alta resistencia a la deformación. Los compuestos tienen una alta conductividad eléctrica y térmica, una alta densidad, una gran resistencia a la corrosión, una gran dureza y una alta resistencia a la deformación.

que se realizó en el laboratorio de la Universidad de Valencia, donde se realizó una serie de experimentos para establecer los límites de detección del Zn en la muestra. Los resultados obtenidos fueron los siguientes:

Muestra	Límite de detección (mg/L)
Agua de mar	0.01
Agua dulce	0.02
Suelo	0.03
Planta	0.04

Estos resultados indican que el límite de detección es menor en agua de mar que en agua dulce, lo que sugiere que el Zn es más soluble en agua de mar que en agua dulce. El límite de detección es menor en suelo que en agua dulce, lo que sugiere que el Zn es más soluble en suelo que en agua dulce. El límite de detección es menor en planta que en agua dulce, lo que sugiere que el Zn es más soluble en planta que en agua dulce.

En conclusión, los resultados obtenidos en este trabajo demuestran que el Zn es más soluble en agua de mar que en agua dulce, lo que sugiere que el Zn es más soluble en suelo que en agua dulce, y que el Zn es más soluble en planta que en agua dulce.

Tabla 1.3. Límites de detección de zinc.

Muestra	Límite de detección (mg/L)
Agua de mar	0.01
Agua dulce	0.02
Suelo	0.03
Planta	0.04

En conclusión, los resultados obtenidos en este trabajo demuestran que el Zn es más soluble en agua de mar que en agua dulce, lo que sugiere que el Zn es más soluble en suelo que en agua dulce, y que el Zn es más soluble en planta que en agua dulce.

que el efecto de la actividad humana en el sistema terrestre es menor que el efecto de las variaciones climáticas naturales. Sin embargo, la actividad humana tiene un efecto significativo en el sistema terrestre, que se manifiesta en cambios en la composición de la atmósfera, en la temperatura global y en los patrones de precipitación. Los cambios en la atmósfera causados por la actividad humana incluyen el aumento del contenido de dióxido de carbono, lo que lleva a un efecto invernadero que contribuye al calentamiento global. Los cambios en la temperatura global se observan como un aumento constante en la temperatura media de la Tierra, lo que se ha convertido en uno de los principales indicadores del cambio climático. Los cambios en los patrones de precipitación se observan como variaciones en la cantidad y distribución de lluvia y nieve, lo que afecta a los ecosistemas terrestres y las comunidades humanas. Los cambios en la atmósfera, la temperatura global y los patrones de precipitación son factores que interactúan entre sí y que contribuyen a la compleja dinámica del sistema terrestre.

un escenario que no se ha visto desde la guerra civil. La situación actual de las relaciones entre Estados Unidos y Cuba ha llevado a un régimen que ya no tiene más remedio que recurrir a la fuerza para imponer su voluntad, lo cual es una situación que no se ha visto en décadas. La tensión entre ambos países ha llegado a niveles históricos, con amenazas mutuas y acciones militares que ponen en peligro la paz mundial. El conflicto entre las dos naciones es complejo y profundo, reflejando las diferencias ideológicas y geopolíticas entre los Estados Unidos y Cuba.

enige jaren later, in 1958, was de eerste grote historische tentoonstelling gewijd aan de geschiedenis van de Nederlandse politie. De tentoonstelling was een groot succes en leidde tot een belangrijke herwaardering van de historische betekenis van de politie.

Echter, na de oorlog, bleef de historische betekenis van de politie in de belangstelling van de Nederlandse samenleving liggen. De politie werd steeds meer gezien als een belangrijke factor in de bescherming van de rechtsstaat en de bescherming van de burger.

Deze belangstelling voor de historische betekenis van de politie leidde tot de oprichting van de Stichting Historische Politie in 1963. De stichting had als doel om de historische betekenis van de politie te bewaren en te promoveren. De stichting organiseerde regelmatig tentoonstellingen en publiceerde verschillende publicaties over de geschiedenis van de politie. De stichting was ook actief in het organiseren van congresen en symposia over de geschiedenis van de politie. De belangstelling voor de historische betekenis van de politie bleef gedurende de jaren zeventig en tachtig blijven bestaan. In 1982 werd de eerste grote historische tentoonstelling gewijd aan de geschiedenis van de Nederlandse politie gehouden. De tentoonstelling was een groot succes en leidde tot een belangrijke herwaardering van de historische betekenis van de politie.

Deze belangstelling voor de historische betekenis van de politie leidde tot de oprichting van de Stichting Historische Politie in 1963. De stichting had als doel om de historische betekenis van de politie te bewaren en te promoveren. De stichting organiseerde regelmatig tentoonstellingen en publiceerde verschillende publicaties over de geschiedenis van de politie. De stichting was ook actief in het organiseren van congresen en symposia over de geschiedenis van de politie. De belangstelling voor de historische betekenis van de politie bleef gedurende de jaren zeventig en tachtig blijven bestaan. In 1982 werd de eerste grote historische tentoonstelling gewijd aan de geschiedenis van de Nederlandse politie gehouden. De tentoonstelling was een groot succes en leidde tot een belangrijke herwaardering van de historische betekenis van de politie.

Deze belangstelling voor de historische betekenis van de politie leidde tot de oprichting van de Stichting Historische Politie in 1963. De stichting had als doel om de historische betekenis van de politie te bewaren en te promoveren. De stichting organiseerde regelmatig tentoonstellingen en publiceerde verschillende publicaties over de geschiedenis van de politie. De stichting was ook actief in het organiseren van congresen en symposia over de geschiedenis van de politie. De belangstelling voor de historische betekenis van de politie bleef gedurende de jaren zeventig en tachtig blijven bestaan. In 1982 werd de eerste grote historische tentoonstelling gewijd aan de geschiedenis van de Nederlandse politie gehouden. De tentoonstelling was een groot succes en leidde tot een belangrijke herwaardering van de historische betekenis van de politie.

3.3.3. Indicadores Metalocromáticos

3.3.3.1. Definición

Los indicadores metalocromáticos son compuestos que presentan una coloración característica en presencia de ciertos metales y otra distinta en ausencia de estos. La formación del complejo entre el indicador y el ion metálico, que procede con una precipitación en la medida en que disminuye la actividad del ion libre, condiciona esta transformación de color del indicador.

Algunas de las principales aplicaciones de los indicadores metalocromáticos se basan en su uso para la determinación cuantitativa de los metales, ya sea directamente o mediante la formación de un precipitado.

En la actualidad se han desarrollado numerosos indicadores metalocromáticos que permiten la determinación de metales en su forma libre y en complejos.

3.3.3.2. Formación del complejo indicador-metalocromático-metalo

La formación del complejo indicador-metalocromático-metalo es el resultado de la interacción entre el ion metálico y el indicador.

Este complejo es más estable que el formado entre el ion metálico y el indicador, ya que su estabilidad es menor que la del complejo entre el ion metálico y el indicador.

La formación del complejo indicador-metalocromático-metalo es el resultado de la interacción entre el ion metálico y el indicador.

La formación del complejo indicador-metalocromático-metalo es el resultado de la interacción entre el ion metálico y el indicador.

La formación del complejo indicador-metalocromático-metalo es el resultado de la interacción entre el ion metálico y el indicador.

La formación del complejo indicador-metalocromático-metalo es el resultado de la interacción entre el ion metálico y el indicador.

La formación del complejo indicador-metalocromático-metalo es el resultado de la interacción entre el ion metálico y el indicador.

1.3.3 Cambios de color debido a la formación del complejo

En el caso de los complejos de hidratos de aluminio con aniones de color, se observó que el cambio de color es reversible. Los aniones de color se unen a los hidratos de aluminio en forma reversible, lo que significa que se liberan cuando se agrega ácido. Los resultados indicaron que el hidrato de aluminio presenta una gran capacidad de adsorción de aniones de color, con una capacidad máxima de adsorción de 100 mg/g. La adsorción de aniones de color es reversible, lo que indica que el hidrato de aluminio tiene una gran capacidad de adsorción de aniones de color.

En el caso de los complejos de hidratos de aluminio con aniones de color, se observó que el cambio de color es reversible. Los aniones de color se unen a los hidratos de aluminio en forma reversible, lo que significa que se liberan cuando se agrega ácido. Los resultados indicaron que el hidrato de aluminio presenta una gran capacidad de adsorción de aniones de color, con una capacidad máxima de adsorción de 100 mg/g. La adsorción de aniones de color es reversible, lo que indica que el hidrato de aluminio tiene una gran capacidad de adsorción de aniones de color.

el desarrollo de la actividad económica en la zona central del país. La actividad económica se ha centrado en la explotación de los recursos naturales y la industria pesada, lo que ha llevado a una alta tasa de contaminación ambiental. La minería es la principal actividad económica en la zona central, seguida por la agricultura y la ganadería. La industria pesada, como la siderurgia y la petroquímica, también es importante. La contaminación atmosférica es un problema significativo en la zona central, especialmente en las ciudades más grandes. Los niveles de polución son altos y afectan tanto a la salud humana como a la vida silvestre. La contaminación del suelo y del agua también es un problema importante. La deforestación y el cambio climático son otros desafíos que enfrenta la zona central. La población rural es mayoritaria y vive principalmente en comunidades rurales dispersas. La calidad de vida es menor que en las zonas urbanas, pero hay avances significativos en la infraestructura y la educación.

1.3.4. Característicasミニúsculaamente útiles

de los metacromáticos

Los metacromáticos son un grupo de minerales que poseen la capacidad de cambiar su color cuando se someten a presión o temperatura. El efecto se debe a la transformación de la estructura cristalina del mineral. Los minerales más conocidos de este grupo son la turmalina y el topacio. La turmalina es un mineral muy común que se encuentra en numerosos tipos de rocas. Se caracteriza por tener un gran número de variaciones de color, que van desde el verde intenso hasta el rojo oscuro. El topacio es otro mineral metacromático que se encuentra en rocas volcánicas y metamórficas. Es un mineral de color amarillo brillante o azul intenso. Los minerales metacromáticos tienen aplicaciones prácticas en la industria, como la fabricación de joyería y la elaboración de cristalería. Sin embargo, su uso más importante es en la investigación científica, ya que su comportamiento ante la presión y la temperatura es útil para comprender los cambios estructurales que ocurren en los minerales a medida que se someten a condiciones extremas. Los estudios sobre los minerales metacromáticos han contribuido a la comprensión de los procesos geológicos que dan forma a la Tierra y a los cambios que suceden en el planeta a lo largo del tiempo. Los minerales metacromáticos son un grupo fascinante y versátil de minerales que continúan siendo objeto de estudio y exploración.

Δ

Algunas formas de obtención de la electricidad son:

- Generación hidráulica: se basa en la fuerza del agua que cae. Se convierte en energía eléctrica mediante turbinas hidráulicas.
- Generación térmica: se basa en la combustión de un combustible. El calor generado se convierte en energía eléctrica mediante turbinas térmicas.
- Generación nuclear: se basa en la fisión de los átomos de uranio. El calor generado se convierte en energía eléctrica mediante turbinas nucleares.
- Generación solar: se basa en la energía del sol. Se convierte en energía eléctrica mediante paneles solares.
- Generación eólica: se basa en la fuerza del viento. Se convierte en energía eléctrica mediante turbinas eólicas.
- Generación hidroeléctrica: se basa en la fuerza del agua que cae. Se convierte en energía eléctrica mediante turbinas hidráulicas.
- Generación térmica: se basa en la combustión de un combustible. El calor generado se convierte en energía eléctrica mediante turbinas térmicas.
- Generación nuclear: se basa en la fisión de los átomos de uranio. El calor generado se convierte en energía eléctrica mediante turbinas nucleares.
- Generación solar: se basa en la energía del sol. Se convierte en energía eléctrica mediante paneles solares.
- Generación eólica: se basa en la fuerza del viento. Se convierte en energía eléctrica mediante turbinas eólicas.

de la que se ha de servir para su desarrollo. La otra parte es la que se refiere a las causas y factores que han impulsado a la población a abandonar su hogar. Aunque las causas son complejas y varían según el caso, generalmente se puede decir que las principales causas son la escasez de tierra, la sequía, la guerra, la enfermedad, la pobreza, la falta de oportunidades laborales y la migración voluntaria.

En lo que respecta a la población rural, se observa una tendencia creciente hacia la urbanización. La población rural disminuye cada año y se estima que en el año 2050 solo quedará un tercio de la población total. La migración rural es una consecuencia directa de la falta de oportunidades laborales y de la escasez de tierra. Los agricultores rurales no tienen suficiente tierra para alimentar a sus familias y deben emigrar en busca de trabajo.

La población urbana, por otro lado, crece rápidamente. La población urbana crecerá un 45% entre 2010 y 2050. La principal causa de este crecimiento es la migración rural. Los trabajadores rurales se mudan a las ciudades en busca de mejores oportunidades laborales y de vida. La población urbana también se beneficia de la industrialización y del desarrollo económico.

En resumen, la población mundial seguirá creciendo en los próximos 40 años, pero la tasa de crecimiento disminuirá significativamente. La población rural disminuirá y la población urbana crecerá. Estos cambios tienen implicaciones profundas para el desarrollo económico y social de los países y las personas.

1.4. Indicadores metalorgánicos utilizados en la Química Analítica y en Fisiología

En la Tabla 1-4 se detallan algunos indicadores químicos que se utilizan para la determinación de iones metálicos.

Indicador de hierro: Diclorofosfato ferro (III) ($FeCl_3 \cdot 2NaCl \cdot 2Na_2HPO_4 \cdot 2H_2O$). Típicamente se forma un complejo hidrosoluble con los iones de hierro en su forma trivalente. El color rojizo de este indicador se intensifica con el aumento de la concentración de hierro.

Tabla 1-4. Metalorgánicos para varios iones metálicos^a

Metal o ion	metal-organílico	color	aplicaciones
Cobre	Clorofosfato de cobre (II) ($CuCl_2 \cdot 2NaCl \cdot 2Na_2HPO_4 \cdot 2H_2O$)	rojizo	Determinación de cobre.
Ferro (III)	Diclorofosfato ferro (III) ($FeCl_3 \cdot 2NaCl \cdot 2Na_2HPO_4 \cdot 2H_2O$)	rojizo	Determinación de hierro.
Manganoso (IV)	Manganofosfato de hierro (III) ($MnCl_2 \cdot 2NaCl \cdot 2Na_2HPO_4 \cdot 2H_2O$)	rojizo	Determinación de manganeso.
Níquel (II)	Clorofosfato de níquel (II) ($NiCl_2 \cdot 2NaCl \cdot 2Na_2HPO_4 \cdot 2H_2O$)	rojizo	Determinación de níquel.
Potasio	Sulfato de potasio (K_2SO_4)	blanco	Determinación de potasio.
Plata	Clorofosfato de plata (I) ($AgCl \cdot NaCl \cdot Na_2HPO_4 \cdot 2H_2O$)	gris	Determinación de plata.
Sodio	Clorofosfato de sodio ($NaCl \cdot Na_2HPO_4 \cdot 2H_2O$)	gris	Determinación de sodio.
Zinc	Clorofosfato de zinc (II) ($ZnCl_2 \cdot 2NaCl \cdot 2Na_2HPO_4 \cdot 2H_2O$)	rojizo	Determinación de zinc.

^a Adaptado de: B. R. Stadhouder y R. A. G. Wijmenga, "Handbook of Chemical Indicators", Elsevier, The Hague, 1977. La mayor parte de los indicadores están disponibles en forma de sales cristalinas y se han preparado en la Universidad de Groningen.

3.6. Estudios sobre el metalócrómico Zincon

Zincon es el nombre que se le dio a un compuesto que se obtuvo en 1928 por el Dr. J. C. Dickey y el Dr. W. E. Johnson de la Universidad de Minnesota. El nombre proviene del hecho de que el color de este compuesto cambia con el tiempo.

En 1938 el Dr. R. H. Dickey y el Dr. W. E. Johnson publicaron una serie de artículos en la revista "Journal of the American Chemical Society" describiendo la estructura química de Zincon y sus propiedades.

En 1940 el Dr. R. H. Dickey y el Dr. W. E. Johnson publicaron un artículo en la revista "Journal of the American Chemical Society" titulado "The Structure of Zincon" en el cual describieron la estructura química de Zincon.

En 1941 el Dr. R. H. Dickey y el Dr. W. E. Johnson publicaron un artículo en la revista "Journal of the American Chemical Society" titulado "The Structure of Zincon" en el cual describieron la estructura química de Zincon.

En 1942 el Dr. R. H. Dickey y el Dr. W. E. Johnson publicaron un artículo en la revista "Journal of the American Chemical Society" titulado "The Structure of Zincon" en el cual describieron la estructura química de Zincon.

En 1943 el Dr. R. H. Dickey y el Dr. W. E. Johnson publicaron un artículo en la revista "Journal of the American Chemical Society" titulado "The Structure of Zincon" en el cual describieron la estructura química de Zincon.

En 1944 el Dr. R. H. Dickey y el Dr. W. E. Johnson publicaron un artículo en la revista "Journal of the American Chemical Society" titulado "The Structure of Zincon" en el cual describieron la estructura química de Zincon.

En 1945 el Dr. R. H. Dickey y el Dr. W. E. Johnson publicaron un artículo en la revista "Journal of the American Chemical Society" titulado "The Structure of Zincon" en el cual describieron la estructura química de Zincon.

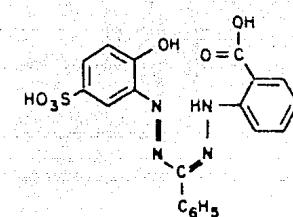
En 1946 el Dr. R. H. Dickey y el Dr. W. E. Johnson publicaron un artículo en la revista "Journal of the American Chemical Society" titulado "The Structure of Zincon" en el cual describieron la estructura química de Zincon.

En 1947 el Dr. R. H. Dickey y el Dr. W. E. Johnson publicaron un artículo en la revista "Journal of the American Chemical Society" titulado "The Structure of Zincon" en el cual describieron la estructura química de Zincon.

En 1948 el Dr. R. H. Dickey y el Dr. W. E. Johnson publicaron un artículo en la revista "Journal of the American Chemical Society" titulado "The Structure of Zincon" en el cual describieron la estructura química de Zincon.

En 1949 el Dr. R. H. Dickey y el Dr. W. E. Johnson publicaron un artículo en la revista "Journal of the American Chemical Society" titulado "The Structure of Zincon" en el cual describieron la estructura química de Zincon.

En 1950 el Dr. R. H. Dickey y el Dr. W. E. Johnson publicaron un artículo en la revista "Journal of the American Chemical Society" titulado "The Structure of Zincon" en el cual describieron la estructura química de Zincon.



2-carboxy-2'-hidroxi-5'-Sulfoformilbenzeno

ZINCON

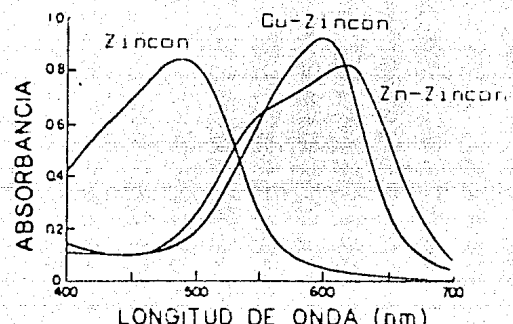


Figura 3.6.1. Estructura química y吸收光谱 de Zincon. (a) Estructura química de Zincon y compuestos Zn-Zincon y Cu-Zincon. (b) Absorbancia de Zincon, Zn-Zincon y Cu-Zincon en agua.

En 1940 el Dr. R. H. Dickey y el Dr. W. E. Johnson publicaron un artículo en la revista "Journal of the American Chemical Society" titulado "The Structure of Zincon" en el cual describieron la estructura química de Zincon.

En 1941 el Dr. R. H. Dickey y el Dr. W. E. Johnson publicaron un artículo en la revista "Journal of the American Chemical Society" titulado "The Structure of Zincon" en el cual describieron la estructura química de Zincon.

En 1942 el Dr. R. H. Dickey y el Dr. W. E. Johnson publicaron un artículo en la revista "Journal of the American Chemical Society" titulado "The Structure of Zincon" en el cual describieron la estructura química de Zincon.

En 1943 el Dr. R. H. Dickey y el Dr. W. E. Johnson publicaron un artículo en la revista "Journal of the American Chemical Society" titulado "The Structure of Zincon" en el cual describieron la estructura química de Zincon.

En 1944 el Dr. R. H. Dickey y el Dr. W. E. Johnson publicaron un artículo en la revista "Journal of the American Chemical Society" titulado "The Structure of Zincon" en el cual describieron la estructura química de Zincon.

the first time, the author has been able to study the effect of the different factors on the growth of the plant. The results obtained from this investigation will be discussed in the following sections.

Materials and Methods

The materials used in this investigation were obtained from the following sources:

- 1. **Seeds:** Seeds of *C. sativus* L. were obtained from the Department of Agriculture, New Delhi, India.
- 2. **Soil:** Soil samples were taken from the fields of the Department of Agriculture, New Delhi, India.
- 3. **Water:** Water was obtained from the Department of Agriculture, New Delhi, India.
- 4. **Fertilizers:** Fertilizers were obtained from the Department of Agriculture, New Delhi, India.

Experimental Procedure

The experimental procedure followed in this investigation was as follows:

1. **Seed Preparation:** Seeds were washed thoroughly with water and then dried at room temperature for 24 hours.
2. **Soil Preparation:** Soil samples were taken from the fields of the Department of Agriculture, New Delhi, India, and were washed thoroughly with water and then dried at room temperature for 24 hours.
3. **Water Preparation:** Water was obtained from the Department of Agriculture, New Delhi, India, and was filtered through a fine cloth.
4. **Fertilizer Preparation:** Fertilizers were obtained from the Department of Agriculture, New Delhi, India, and were dissolved in water.
5. **Planting:** Seeds were sown in pots containing soil and fertilizer mixture.
6. **Growth Measurement:** The height of the plants was measured at regular intervals of time.
7. **Harvesting:** The plants were harvested when they reached maturity.
8. **Analysis:** The plants were analyzed for their nutrient content.

Results and Discussion

The results obtained from this investigation are summarized in the following tables:

Factor	Effect on Growth	Conclusion
Soil Type	Significant increase in growth	Soil type has a significant effect on the growth of the plant.
Water Quality	Significant increase in growth	Water quality has a significant effect on the growth of the plant.
Fertilizer Type	Significant increase in growth	Fertilizer type has a significant effect on the growth of the plant.
Plant Age	Significant increase in growth	Plant age has a significant effect on the growth of the plant.
Light Intensity	Significant increase in growth	Light intensity has a significant effect on the growth of the plant.
Temperature	Significant increase in growth	Temperature has a significant effect on the growth of the plant.
Humidity	Significant increase in growth	Humidity has a significant effect on the growth of the plant.
Nutrient Content	Significant increase in growth	Nutrient content has a significant effect on the growth of the plant.

From the results obtained from this investigation, it can be concluded that all the factors studied have a significant effect on the growth of the plant. The most important factor is the soil type, followed by water quality, fertilizer type, plant age, light intensity, temperature, humidity, and nutrient content.

de la que se ha de sacar una conclusión. La otra parte de la memoria, en la que se tratan las causas de la muerte, es de menor importancia, ya que no se trata de un caso de criminalidad. Sin embargo, el informe de la autopsia es de gran utilidad para la investigación criminal, ya que proporciona información sobre la causa y la forma de muerte, así como sobre las lesiones y enfermedades presentes en el cuerpo del fallecido.

En resumen, la memoria forense es una herramienta fundamental para la investigación criminal, ya que proporciona información valiosa sobre las causas y circunstancias de la muerte de las personas fallecidas.

1.4 OBJETIVO

Ninguno de los trabajos sobre el metalocrómico Zinconantes mencionados ha reportado las características físicas y químicas que permiten utilizarlo en sistemas biológicos.

Dichas características se basan en los criterios expuestos por Antonio Scarpa (1977) y sobre estos se fundamentan el objetivo de este trabajo: determinar las características físicas y químicas que permitan el uso del Zincon en sistemas biológicos.

Para llevar a cabo el objetivo, se realizó la siguiente secuencia para obtener los datos necesarios:

- A) Determinación de las constantes de asociación, dissociación y K_{d} para los complejos Zn-Zincon, Cu-Zincon y otros cationes divalentes por medio de espectrofotometría de doble rayo. Con dichas constantes es posible determinar el intervalo de concentraciones de metal que puede detectar el metalocrómico, los cambios en la absorbancia detectables con diferentes concentraciones de metalocrómico, y la afinidad de los complejos.
- B) Reversibilidad de los complejos metal-metalocrómico.

Esta característica ha sido aprovechada en los métodos quelatométricos (Sadek, 1959) para detectar metales que no forman complejos con Zincon. También es útil para los estudios en sistemas biológicos para no alterar las concentraciones de metales en las células.

- C) Solubilidad en solventes orgánicos alifáticos y aromáticos, hexano y tolueno, respectivamente.

D) Interacciones con membranas modeladas liposómicas. Determinar la actividad antiviral y efecto reflejo en el posible comportamiento del metalocomplejo con las membranas biológicas, ya que tienen características similares condiciones de hidrofobicidad.

E) Determinar si existe interacción con membranas biológicas y su potencial uso en sistemas biológicos.

CAPÍTULO II. MATERIALES Y MÉTODOS

2.1. Técnicas de separación de soluciones

Todos los métodos que utilizan la fuerza gravitacional para separar las fases

se denominan gravitacionales.

Entre las técnicas más utilizadas se encuentran:

• Separación gravitacional en campo constante.

• Separación gravitacional en campo variable.

• Separación gravitacional en campo rotatorio.

• Separación gravitacional en campo gravitacional.

2.1.1. Separaciones del metacromático finito

Las separaciones del metacromático finito se realizan en el caso de que

se tienen dos fases que no se mezclan entre sí.

En este caso, la separación se realiza en un solo paso.

2.1.2. Delimitación sustractiva de agujetas equivalentes

La delimitación sustractiva de agujetas equivalentes es una técnica

que se utiliza para separar las fases de forma metacromática.

La delimitación sustractiva de agujetas equivalentes es una técnica

que se utiliza para separar las fases de forma metacromática.

La delimitación sustractiva de agujetas equivalentes es una técnica

.....

2.2. Dependencia de la respuesta

2.2.1. Dependencia de respuesta fotométrica

La dependencia de respuesta fotométrica se refiere a la variación en la respuesta óptica de un sensor en función de la intensidad de la luz que incide sobre él. La respuesta fotométrica es una medida de la sensibilidad del sensor a la luz y es importante para garantizar la precisión y la consistencia de los resultados obtenidos.

Existen varias formas de medir la dependencia de respuesta fotométrica. Una forma común es la realización de mediciones de respuesta en una variedad de condiciones de iluminación, como iluminación directa y difusa, y en diferentes longitudes de onda. Los resultados se analizan para identificar cualquier tendencia o patrón de respuesta.

Otra forma de medir la dependencia de respuesta fotométrica es la realización de mediciones de respuesta en diferentes tipos de sensores, como sensores de imágenes y sensores de movimiento. Los resultados se analizan para identificar cualquier diferencia en la respuesta entre los diferentes tipos de sensores.

Finalmente, la dependencia de respuesta fotométrica también puede ser medida mediante el uso de técnicas estadísticas, como la regresión lineal, para identificar cualquier relación entre la intensidad de la luz y la respuesta del sensor.

En resumen, la dependencia de respuesta fotométrica es una medida de la sensibilidad del sensor a la luz y es importante para garantizar la precisión y la consistencia de los resultados obtenidos. La medida de la dependencia de respuesta fotométrica implica la realización de mediciones de respuesta en diferentes condiciones de iluminación y tipos de sensores, y el análisis de los resultados para identificar cualquier tendencia o patrón de respuesta.

Finalmente, la dependencia de respuesta fotométrica también puede ser medida mediante el uso de técnicas estadísticas, como la regresión lineal, para identificar cualquier relación entre la intensidad de la luz y la respuesta del sensor.

En resumen, la dependencia de respuesta fotométrica es una medida de la sensibilidad del sensor a la luz y es importante para garantizar la precisión y la consistencia de los resultados obtenidos. La medida de la dependencia de respuesta fotométrica implica la realización de mediciones de respuesta en diferentes condiciones de iluminación y tipos de sensores, y el análisis de los resultados para identificar cualquier tendencia o patrón de respuesta.

2.2.2 Espectrofotometría de doble fluorescencia

Este tipo de medida se basa en la emisión de dos tipos de fluorescencia.

La primera fluorescencia es la que emite el analito en su forma original.

La segunda fluorescencia es la que emite el analito en su forma modificada.

La diferencia entre las intensidades de ambas fluorescencias se mide para obtener la señal de respuesta.

Este tipo de medida se basa en la emisión de dos tipos de fluorescencia.

La primera fluorescencia es la que emite el analito en su forma original.

La segunda fluorescencia es la que emite el analito en su forma modificada.

La diferencia entre las intensidades de ambas fluorescencias se mide para obtener la señal de respuesta.

Este tipo de medida se basa en la emisión de dos tipos de fluorescencia.

La primera fluorescencia es la que emite el analito en su forma original.

La segunda fluorescencia es la que emite el analito en su forma modificada.

La diferencia entre las intensidades de ambas fluorescencias se mide para obtener la señal de respuesta.

Este tipo de medida se basa en la emisión de dos tipos de fluorescencia.

La primera fluorescencia es la que emite el analito en su forma original.

La segunda fluorescencia es la que emite el analito en su forma modificada.

La diferencia entre las intensidades de ambas fluorescencias se mide para obtener la señal de respuesta.

Este tipo de medida se basa en la emisión de dos tipos de fluorescencia.

La primera fluorescencia es la que emite el analito en su forma original.

La segunda fluorescencia es la que emite el analito en su forma modificada.

La diferencia entre las intensidades de ambas fluorescencias se mide para obtener la señal de respuesta.

Este tipo de medida se basa en la emisión de dos tipos de fluorescencia.

La primera fluorescencia es la que emite el analito en su forma original.

La segunda fluorescencia es la que emite el analito en su forma modificada.

La diferencia entre las intensidades de ambas fluorescencias se mide para obtener la señal de respuesta.

Este tipo de medida se basa en la emisión de dos tipos de fluorescencia.

La primera fluorescencia es la que emite el analito en su forma original.

La segunda fluorescencia es la que emite el analito en su forma modificada.

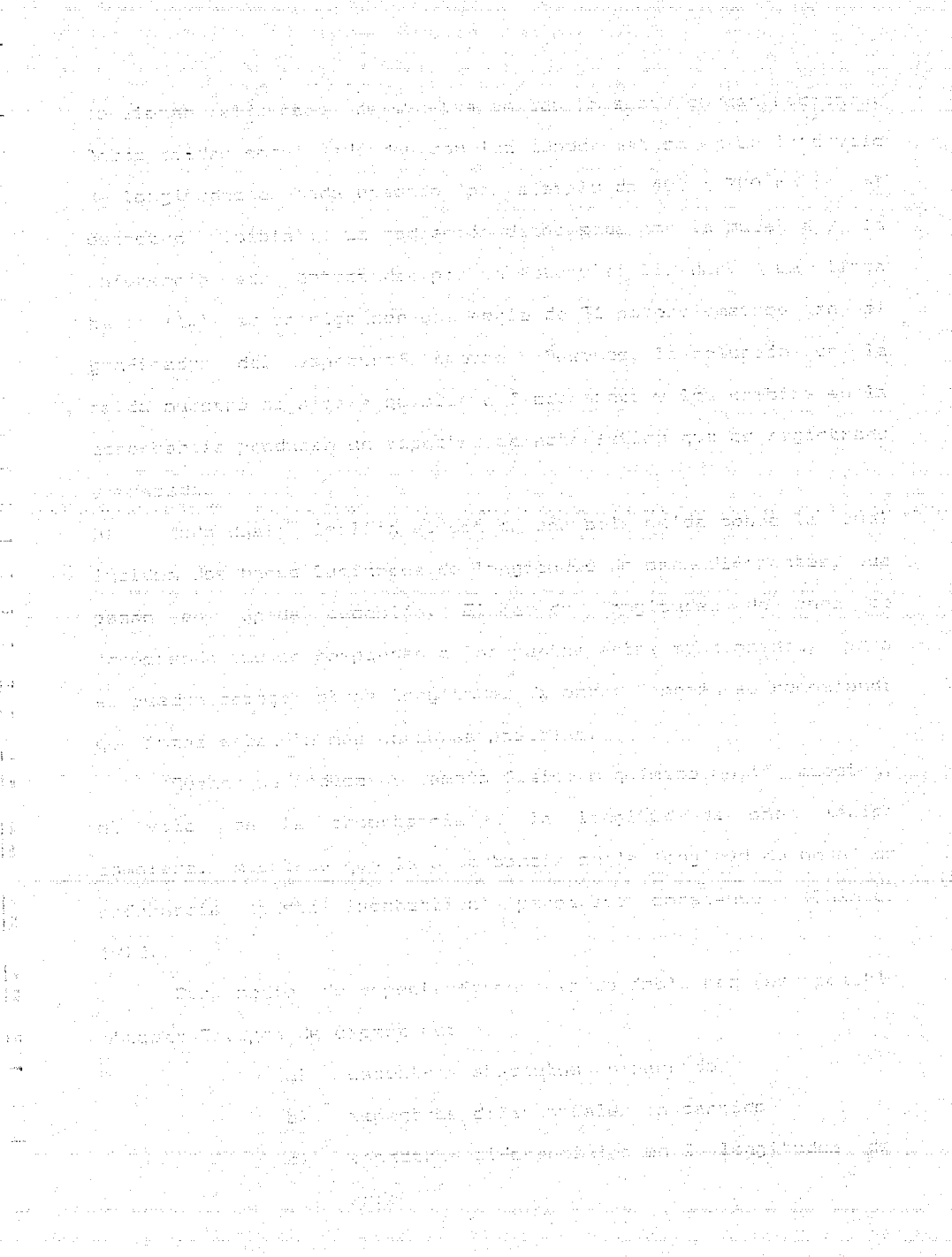
La diferencia entre las intensidades de ambas fluorescencias se mide para obtener la señal de respuesta.

Este tipo de medida se basa en la emisión de dos tipos de fluorescencia.

La primera fluorescencia es la que emite el analito en su forma original.

La segunda fluorescencia es la que emite el analito en su forma modificada.

La diferencia entre las intensidades de ambas fluorescencias se mide para obtener la señal de respuesta.



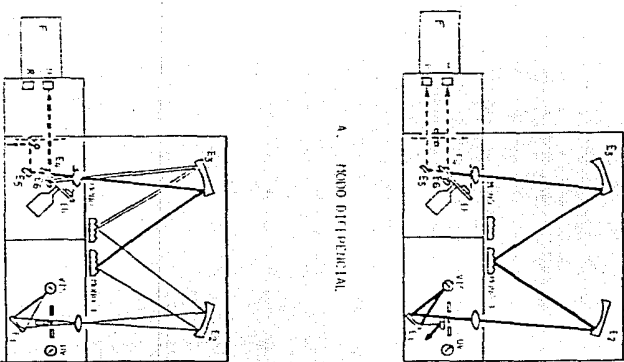
spitzen, die sich auf die Entwicklung der Kultivierung und Nutzung von Pflanzen im Rahmen der sozialen und kulturellen Praktiken beziehen. Die Kultivierung ist dabei nicht als eine rein technische oder wissenschaftliche Tätigkeit zu verstehen, sondern als ein Prozess, der die Beziehung zwischen Mensch und Natur sowie zwischen verschiedenen sozialen Gruppen und Kulturen definiert. Die Pflanzenwelt wird hier nicht nur als Ressource für die Produktion von Gütern oder Dienstleistungen betrachtet, sondern als ein integraler Bestandteil des sozialen und kulturellen Lebensraums. Die Kultivierung ist daher eng mit den gesellschaftlichen Praktiken und Werte verbunden, die in einer bestimmten Kultur oder sozialen Gruppe praktiziert werden. Diese Praktiken und Werte können sich über Generationen hinweg weiterentwickeln und verändern, was wiederum die Kultivierung und Nutzung von Pflanzen beeinflusst. Ein Beispiel hierfür ist die Entwicklung der Pflanzensorten, die in einer bestimmten Kultur oder sozialen Gruppe bevorzugt werden. Diese Sorten können durch Selektion und Kreuzung von Wildarten oder anderen Kultivars entstehen. Die Kultivierung kann daher als ein Prozess der sozialen und kulturellen Entwicklung und Veränderung verstanden werden.

2.5 Reparto en edificios orgánicos

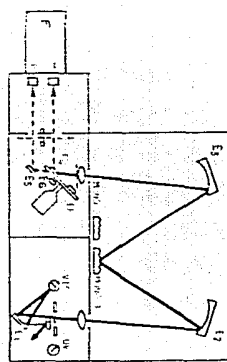
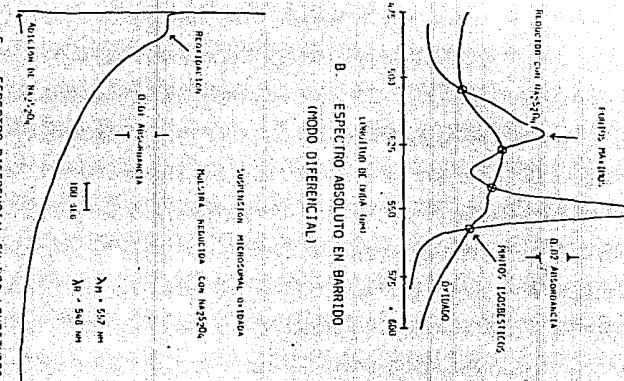
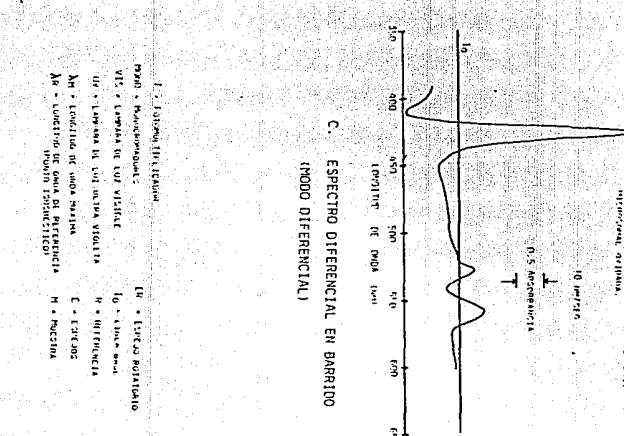
En la actualidad se considera que el desarrollo de las ciencias y tecnologías de la información y las telecomunicaciones es un factor fundamental para el crecimiento económico y social de los países. La transformación digital de las empresas y las administraciones públicas ha permitido una mayor eficiencia y productividad, así como la generación de nuevos servicios y productos. Sin embargo, el desarrollo tecnológico no ha sido uniforme ni equitativo, existiendo grandes diferencias entre países y entre sectores económicos. Los países con mayores niveles de desarrollo tecnológico y digital suelen tener mejores resultados económicos y sociales. Los países con menor desarrollo tecnológico suelen tener problemas de empleo, pobreza y desigualdad. Los sectores económicos más avanzados en términos digitales suelen ser los servicios y la industria manufacturera, mientras que los sectores más rezagados suelen ser la agricultura y la construcción.

El desarrollo tecnológico y digital no solo implica cambios en las formas de trabajo y producción, sino también en las formas de consumo y vida. La tecnología ha transformado nuestras vidas cotidianas, permitiendo la comunicación instantánea, la accesibilidad a la información y la realización de tareas de manera más eficiente. Sin embargo, el desarrollo tecnológico no ha sido igual para todos. Existe una brecha digital entre los grupos más vulnerables y las personas más privilegiadas, que se manifiesta en la falta de acceso a la tecnología y a las habilidades necesarias para utilizarla. Esta brecha digital es un problema social que debe ser abordado a través de políticas públicas que promuevan la inclusión digital y la formación de competencias digitales.

En conclusión, el desarrollo tecnológico y digital es un factor clave para el crecimiento económico y social de los países. Sin embargo, es importante garantizar que el desarrollo tecnológico sea equitativo y no contribuya a la exacerbación de las desigualdades sociales. Es necesario promover la inclusión digital y la formación de competencias digitales para todos los ciudadanos, especialmente para las personas más vulnerables. El desarrollo tecnológico debe ser un factor impulsor del crecimiento económico y social, pero también debe ser un factor impulsor de la inclusión social y la equidad.



A. MODO DIFERENCIAL.

B. ESPECTRO ABSOLUTO EN BARRIDO
(MODO DIFERENCIAL)C. ESPECTRO DIFERENCIAL EN BARRIDO
(MODO DIFERENCIAL)C. ESPECTRO DIFERENCIAL EN BARRIDO
(MODO DIFERENCIAL)

D. MODO DIFERENCIAL

FIG. 2.1 TRAYECTORIA DE LA LUZ EN EL ESPECTROFOTOMETRO DE DOBLE

HUELLA LUMINOSA, MODO DIFERENCIAL Y MODO DUAL.

E. ESPECTRO DIFERENCIAL EN DOS LONGITUDES

DE Onda. (MODO DUAL)

2.4. Preparação de membranas modelíc (lipossomas)

As membranas modelíc (lipossomas) são estruturas que imitam as membranas celulares, formadas por uma dupla camada de moléculas de lipídeos. Elas são utilizadas em medicina para entregar fármacos direto para o interior das células.

As membranas modelíc são compostas por uma dupla camada de moléculas de lipídeos, com a cabeça hidrofílica voltada para o exterior e as caudas hidrofóbicas voltadas para o interior. Elas podem ser formadas por diferentes tipos de lipídeos, como fosfolipídeos, glicerofosfolipídeos e cerasídeos.

A preparação de membranas modelíc envolve several etapas:

- 1. Seleção dos lipídeos:** A escolha dos lipídeos depende da aplicação desejada. Por exemplo, se a intenção é entregar fármacos para o interior das células, é necessário usar lipídeos que possam penetrar a barreira celular.
- 2. Dissolução:** Os lipídeos são dissolvidos em um solvente, geralmente óleo ou álcool, a uma temperatura elevada para que as moléculas se desenrollem.
- 3. Refrigeração:** O mix é refrescado rapidamente para que as moléculas sejam resolvidas e formem a estrutura de dupla camada.
- 4. Filtração:** As membranas modelíc são filtradas para remover quaisquer impurezas ou partículas maiores.
- 5. Secagem:** As membranas modelíc são secas para removê a maior parte do solvente.

As membranas modelíc têm muitas aplicações na medicina, como entregar fármacos direto para o interior das células, proteger os fármacos de enzimas e aumentar a eficácia terapêutica.

3.3.3.2. Preparación de riego con agua de lluvia o aguas residuales

3.3.3.3. Preparación de riego con aguas de desagüe de aceras

3.3.3.4. Preparación de riego con agua de riego de césped

3.3.3.5. Preparación de riego con agua de riego de hortalizas

3.3.4. Preparación de condimentos biológicos

3.4. Mitocondrias de açaíado de río

4.2.4.1. Recolección y preparación de los materiales para la obtención de mitocondrias de açaíado de río.

Los mitocondrios de açaíado de río se obtendrán mediante la utilización de la actividad de fermentación de la levadura del pan (S. cerevisiae) que se ha adaptado a las condiciones de crecimiento en el interior de la célula de açaíado de río. La fermentación se realizó en un medio que contiene azúcares y otros nutrientes que permiten la multiplicación de la levadura y la obtención de mitocondrias.

4.2.4.2. Preparación de las mitocondrias de açaíado de río.

Las mitocondrias de açaíado de río se obtendrán mediante la utilización de la actividad de fermentación de la levadura del pan (S. cerevisiae) que se ha adaptado a las condiciones de crecimiento en el interior de la célula de açaíado de río. La fermentación se realizó en un medio que contiene azúcares y otros nutrientes que permiten la multiplicación de la levadura y la obtención de mitocondrias.

4.2.5. Preparación de la leche de açaíado de río.

La leche de açaíado de río se obtendrá mediante la utilización de la actividad de fermentación de la levadura del pan (S. cerevisiae) que se ha adaptado a las condiciones de crecimiento en el interior de la célula de açaíado de río. La fermentación se realizó en un medio que contiene azúcares y otros nutrientes que permiten la multiplicación de la levadura y la obtención de mitocondrias.

3.4.5.2. Riego con aguas residuales

4.2.5.2.1. Preparación de riego con agua de lluvia o aguas residuales

4.2.5.2.2. Preparación de riego con aguas de desagüe de aceras

4.2.5.2.3. Preparación de riego con agua de riego de césped

4.2.5.2.4. Preparación de riego con agua de riego de hortalizas

2.5.7 *Quedan líquidos máximos de leche y concentraciones*

En la actualidad se ha establecido que el líquido de leche que se debe consumir es el que se obtiene en la leche con una concentración de 10% de proteínas y 4% de grasas. La leche que se obtiene en la leche con una concentración de 10% de proteínas y 4% de grasas es la leche que se obtiene en la leche con una concentración de 10% de proteínas y 4% de grasas.

La leche que se obtiene en la leche con una concentración de 10% de proteínas y 4% de grasas es la leche que se obtiene en la leche con una concentración de 10% de proteínas y 4% de grasas.

La leche que se obtiene en la leche con una concentración de 10% de proteínas y 4% de grasas es la leche que se obtiene en la leche con una concentración de 10% de proteínas y 4% de grasas.

La leche que se obtiene en la leche con una concentración de 10% de proteínas y 4% de grasas es la leche que se obtiene en la leche con una concentración de 10% de proteínas y 4% de grasas.

La leche que se obtiene en la leche con una concentración de 10% de proteínas y 4% de grasas es la leche que se obtiene en la leche con una concentración de 10% de proteínas y 4% de grasas.

2.5.4 *Cuantificación de proteína y bactericidio*

La leche que se obtiene en la leche con una concentración de 10% de proteínas y 4% de grasas es la leche que se obtiene en la leche con una concentración de 10% de proteínas y 4% de grasas.

La leche que se obtiene en la leche con una concentración de 10% de proteínas y 4% de grasas es la leche que se obtiene en la leche con una concentración de 10% de proteínas y 4% de grasas.

La leche que se obtiene en la leche con una concentración de 10% de proteínas y 4% de grasas es la leche que se obtiene en la leche con una concentración de 10% de proteínas y 4% de grasas.

La leche que se obtiene en la leche con una concentración de 10% de proteínas y 4% de grasas es la leche que se obtiene en la leche con una concentración de 10% de proteínas y 4% de grasas.

2.6. Interpretación de resultados promedio de la relación entre el número de días de vida y el número de días de vida de los padres

En la figura 2 se observa que el promedio de días de vida de los padres es menor al promedio de días de vida de los hijos. La diferencia es estadísticamente significativa ($p < 0.05$). Los resultados muestran que los padres tienen una media de 10.25 días de vida y los hijos tienen una media de 11.25 días de vida.

Figura 2.6. Interpretación de resultados promedio de la relación entre el número de días de vida y el número de días de vida de los padres

La figura 2.6 muestra un histograma que compara la distribución de los días de vida entre los padres y los hijos. La x-eje es el número de días de vida (entre 0 y 15) y la y-eje es la frecuencia (entre 0 y 10). Los datos muestran que los padres tienen una media más baja (aprox. 10.25) que los hijos (aprox. 11.25), con una mayor variancia en los padres.

2.6. Interpretación de resultados promedio de la relación entre el número de días de vida y el número de días de vida de los padres

En la figura 2 se observa que el promedio de días de vida de los padres es menor al promedio de días de vida de los hijos. La diferencia es estadísticamente significativa ($p < 0.05$). Los resultados muestran que los padres tienen una media de 10.25 días de vida y los hijos tienen una media de 11.25 días de vida.

Figura 2.6. Interpretación de resultados promedio de la relación entre el número de días de vida y el número de días de vida de los padres

La figura 2.6 muestra un histograma que compara la distribución de los días de vida entre los padres y los hijos. La x-eje es el número de días de vida (entre 0 y 15) y la y-eje es la frecuencia (entre 0 y 10). Los datos muestran que los padres tienen una media más baja (aprox. 10.25) que los hijos (aprox. 11.25), con una mayor variancia en los padres.

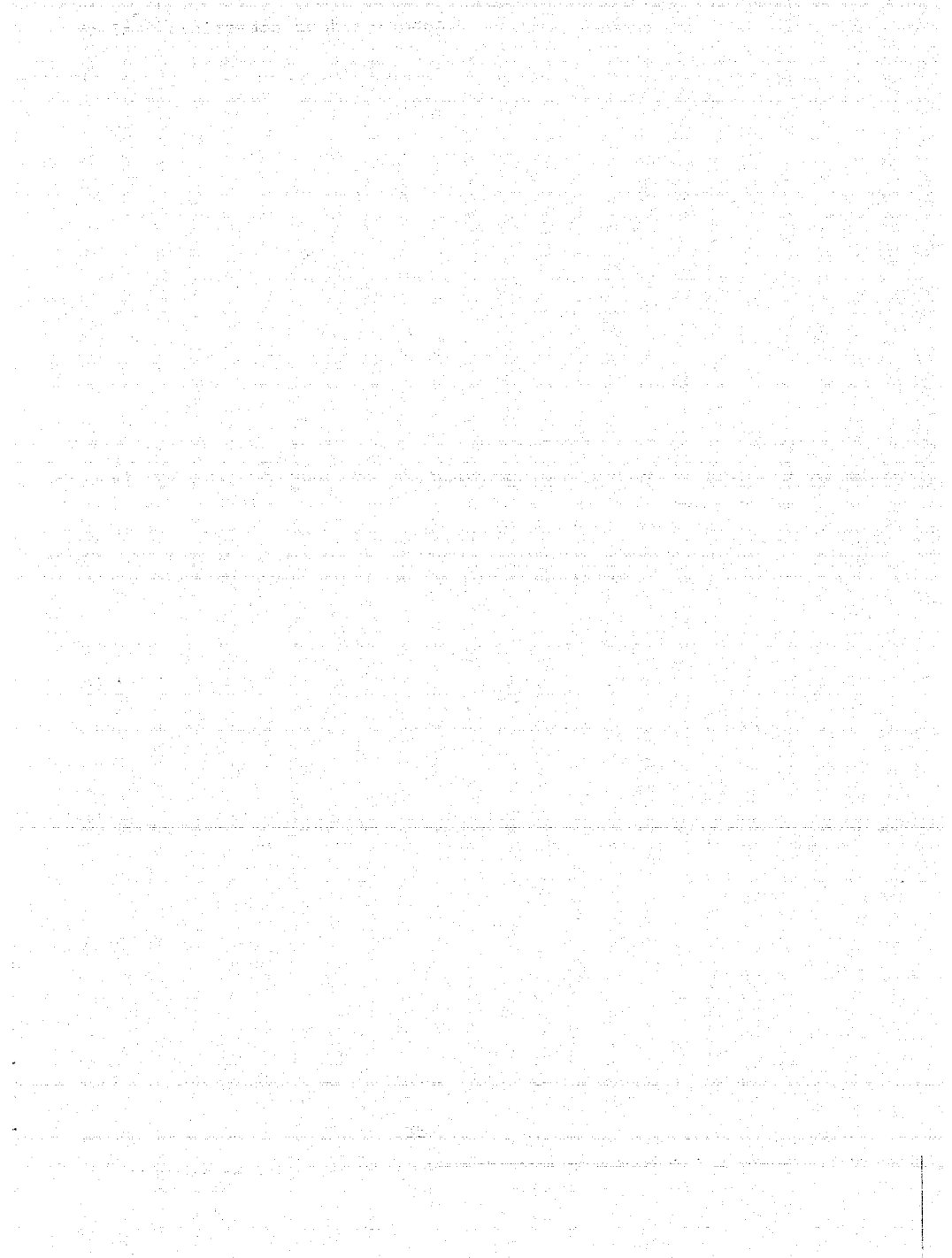


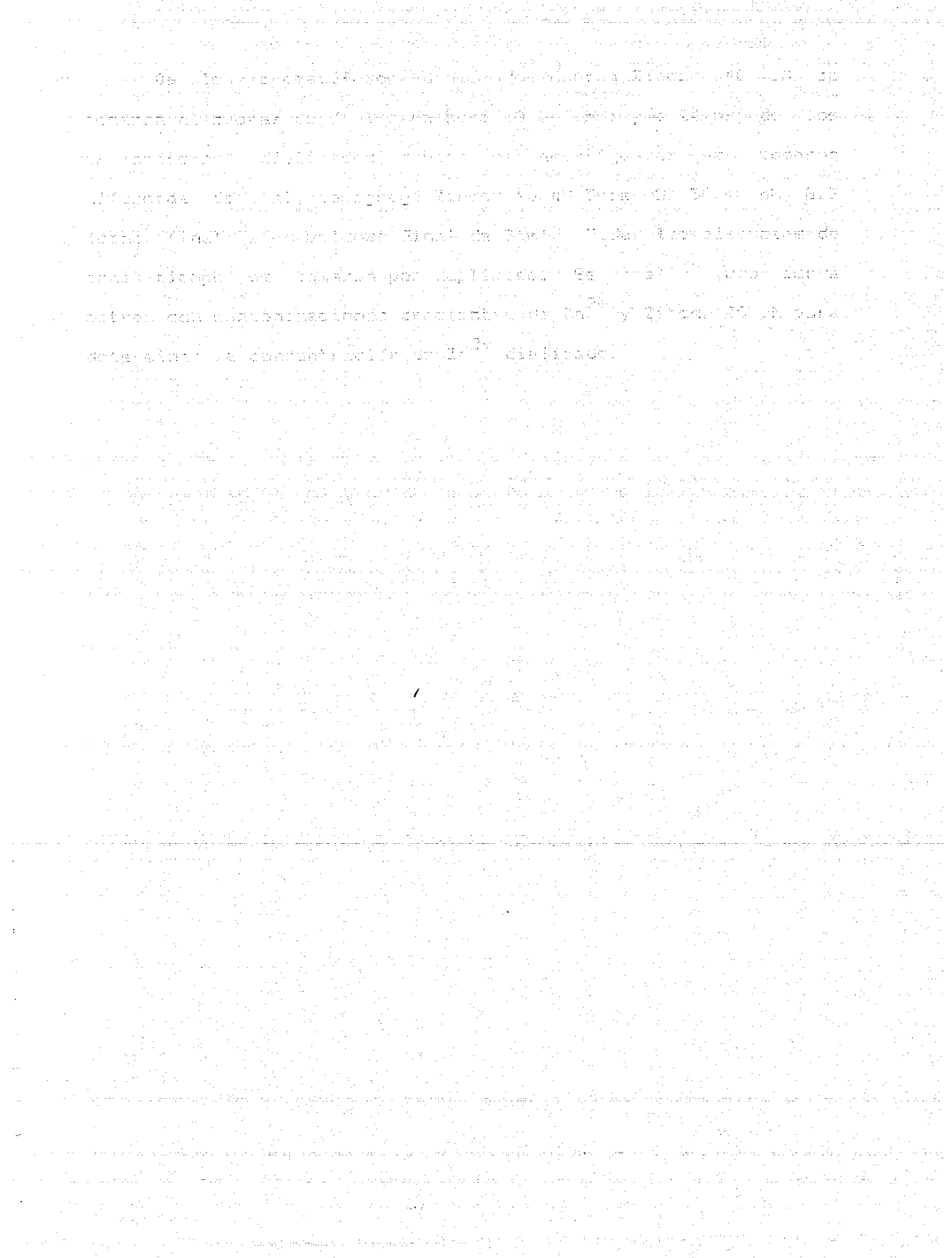
Tableau de l'Inde

Le tableau de l'Inde est un document historique qui présente une analyse détaillée de la situation politique et sociale en Inde au XVIII^e siècle. Il a été compilé par un officier britannique anonyme et a été publié pour la première fois en 1784. Le tableau couvre une période allant de 1770 à 1783 et fournit des informations sur les diverses régions de l'Inde, leurs gouvernements locaux, leurs coutumes, leurs religions et leurs économies.

Le tableau de l'Inde est divisé en plusieurs sections, chacune traitant d'un sujet différent. Les sections principales sont les suivantes :

- Géographie et Histoire** : Cela comprend une description de l'Inde en tant que pays, ses frontières, ses villes principales, ses routes et ses ports. Il y a également une section sur l'histoire de l'Inde, qui traite des dynasties qui ont régné sur le pays au fil des siècles.
- Gouvernement et Politique** : Cela comprend une analyse des différents systèmes politiques qui existaient en Inde à l'époque, y compris les royaumes, les sultanats et les empires. Il y a également une section sur les relations entre les différentes puissances politiques de l'époque.
- Société et Culture** : Cela comprend une analyse des coutumes et des traditions de l'Inde, y compris les religions hindoue et musulmane, les castes, les familles et les mariages. Il y a également une section sur l'art, la littérature et la musique de l'Inde.
- Economie et Commerce** : Cela comprend une analyse de l'économie de l'Inde, y compris les agricultures, les industries, les marchés et les échanges commerciaux. Il y a également une section sur les portes et les routes commerciales de l'Inde.

Le tableau de l'Inde est un document très complet et détaillé, qui fournit une grande quantité d'informations sur l'Inde au XVIII^e siècle. Il a été utilisé comme référence pour nombre d'histoires et d'études sur l'Inde dans les années suivantes.



CAPÍTULO 3 - RESULTADOS Y DISCUSIÓN

3.1 Repartición de los empleos matemáticos

De acuerdo con las características de disposición,

se observó que los profesionales de enfermería tienen una actitud positiva hacia la matemática, ya que el 70% de los encuestados declaró que la matemática es importante en su trabajo. Sin embargo, el 30% restante declaró que no es importante. Los resultados de este estudio coinciden con los obtenidos por Gómez et al. (2005), que encontraron que el 70% de los profesionales de enfermería consideran que la matemática es importante en su trabajo.

En cuanto a la actitud hacia la matemática, se observó que el 50% de los profesionales de enfermería tienen una actitud positiva hacia la matemática, el 30% tienen una actitud neutral y el 20% tienen una actitud negativa.

En cuanto a la actitud hacia la matemática, se observó que el 50% de los profesionales de enfermería tienen una actitud positiva hacia la matemática, el 30% tienen una actitud neutral y el 20% tienen una actitud negativa.

En cuanto a la actitud hacia la matemática, se observó que el 50% de los profesionales de enfermería tienen una actitud positiva hacia la matemática, el 30% tienen una actitud neutral y el 20% tienen una actitud negativa.

En cuanto a la actitud hacia la matemática, se observó que el 50% de los profesionales de enfermería tienen una actitud positiva hacia la matemática, el 30% tienen una actitud neutral y el 20% tienen una actitud negativa.

En cuanto a la actitud hacia la matemática, se observó que el 50% de los profesionales de enfermería tienen una actitud positiva hacia la matemática, el 30% tienen una actitud neutral y el 20% tienen una actitud negativa.

En cuanto a la actitud hacia la matemática, se observó que el 50% de los profesionales de enfermería tienen una actitud positiva hacia la matemática, el 30% tienen una actitud neutral y el 20% tienen una actitud negativa.

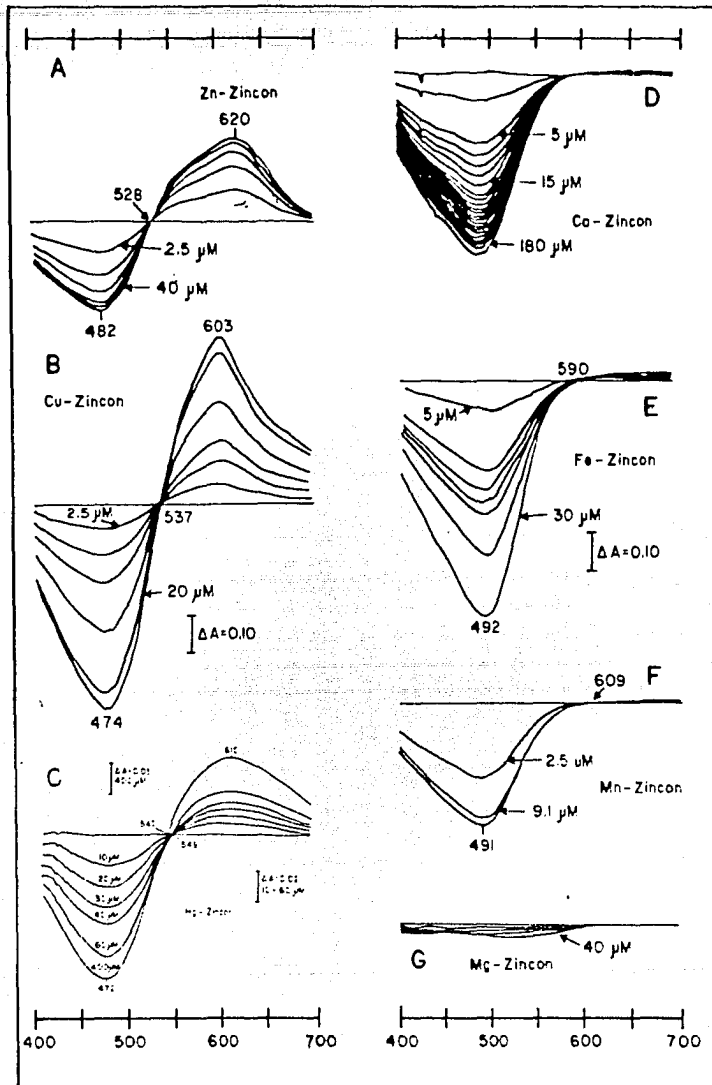
En cuanto a la actitud hacia la matemática, se observó que el 50% de los profesionales de enfermería tienen una actitud positiva hacia la matemática, el 30% tienen una actitud neutral y el 20% tienen una actitud negativa.

En cuanto a la actitud hacia la matemática, se observó que el 50% de los profesionales de enfermería tienen una actitud positiva hacia la matemática, el 30% tienen una actitud neutral y el 20% tienen una actitud negativa.

En cuanto a la actitud hacia la matemática, se observó que el 50% de los profesionales de enfermería tienen una actitud positiva hacia la matemática, el 30% tienen una actitud neutral y el 20% tienen una actitud negativa.

En cuanto a la actitud hacia la matemática, se observó que el 50% de los profesionales de enfermería tienen una actitud positiva hacia la matemática, el 30% tienen una actitud neutral y el 20% tienen una actitud negativa.

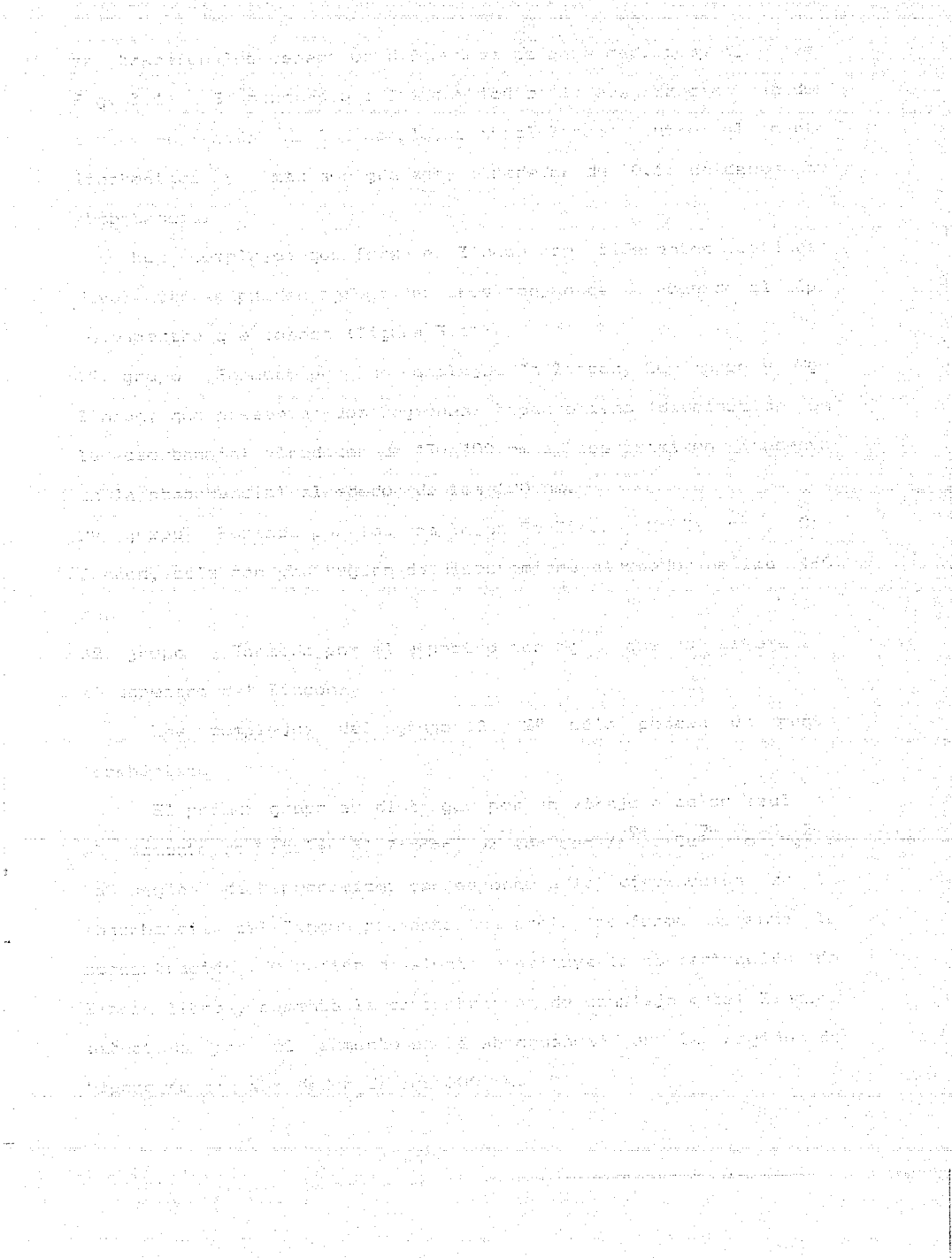
En cuanto a la actitud hacia la matemática, se observó que el 50% de los profesionales de enfermería tienen una actitud positiva hacia la matemática, el 30% tienen una actitud neutral y el 20% tienen una actitud negativa.



LONGITUD DE ONDA (nm)

Fig. 3.1 Espectros diferenciales de los complejos Metal-Zincon.

Condiciones: Zincon 40 μM Tris-HCl 50 mM pH 8.2 y las concentraciones de metal indicada.



$$\Delta =$$

A

the standard

and the mean

and the variance

and the standard

and the mean

and the variance

and the standard

and the mean

and the variance

and the standard

and the mean

and the variance

and the standard

and the mean

and the variance

and the standard

and the mean

and the variance

and the standard

and the mean

and the variance

and the standard

and the mean

and the variance

and the standard

and the mean

and the variance

and the standard

and the mean

and the variance

and the standard

A

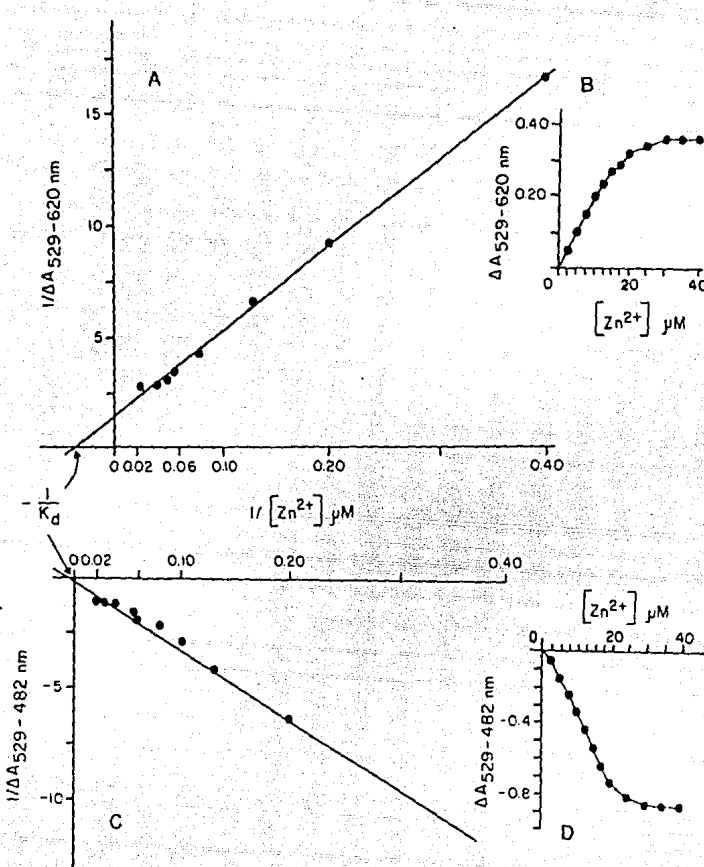


Fig. 3.2 Gráficas de dobles recíprocas en la región de hipercromismo (A) e hipocromismo (C) de los cambios en absorbancia contra concentraciones crecientes de Zn^{2+} . B y D son las gráficas lineales. Condiciones: celda de referencia y muestra contienen Zincon 40 μM Tris-HCl 50 mM pH 8.2 y las concentraciones indicadas de Zn^{2+} , vol. final 3 ml.

Tabla 3.1 Constantes de asociación, disociación y para los complejos Metal-Zincon y en presencia de otros metales

Complejos p.i. y Amax	$\log_{10}K_s$	K_d (μM)	$\Delta\epsilon (\text{mM}^{-1}\text{cm}^{-1})$
Cu^{2+}			
537-600 nm	4.39	40.01	28.79
537-474 nm	2.57	2662.18	-2136.70
Zn^{2+}			
529-620 nm	4.19	64.44	46.25
529-482 nm	3.89	127.32	-
$\text{Zn}^{2+} + \text{Mg}^{2+}$ 40 μM			
529-620 nm	4.12	74.39	49.66
$\text{Zn}^{2+} + \text{Ca}^{2+}$ 40 μM			
529-620 nm	4.28	52.39	41.66
$\text{Zn}^{2+} + \text{Ca}^{2+}$ 100 μM			
529-620 nm	4.39	40.29	34.71
Hg^{2+}			
540-610 nm	3.07	832.20	6.94
540-472 nm	3.00	997.80	-13.35
Fe^{2+}			
590-492 nm	4.30	49.50	-99.24
Mn^{2+}			
609-491 nm	5.49	3.16	-22.57
Ca^{2+}			
597-490 nm	3.42	372.75	-63.65
Mg^{2+}	0	0	0

Los valores de las constantes para Fe^{2+} , Mn^{2+} y Ca^{2+} se obtuvieron a intervalos de 1 min en la titulación. Condiciones: Zincon 40 μM Tris-HCl 50 mM pH 8.2, vol. final 3 ml para cada uno.



... 1000

TABLA Curvas de pH para Zinco, Zincato y Cloruro de Zinc

Se han tomado los siguientes datos para la elaboración de las curvas:

Concentración de Zn en los suelos: 100 mg/l.

Concentración de Cl en los suelos: 100 mg/l.

Concentración de Zn en los suelos: 100 mg/l.

Concentración de Cl en los suelos: 100 mg/l.

Concentración de Zn en los suelos: 100 mg/l.

Concentración de Cl en los suelos: 100 mg/l.

Concentración de Zn en los suelos: 100 mg/l.

Concentración de Cl en los suelos: 100 mg/l.

Concentración de Zn en los suelos: 100 mg/l.

Concentración de Cl en los suelos: 100 mg/l.

Concentración de Zn en los suelos: 100 mg/l.

Concentración de Cl en los suelos: 100 mg/l.

Concentración de Zn en los suelos: 100 mg/l.

Concentración de Cl en los suelos: 100 mg/l.

Concentración de Zn en los suelos: 100 mg/l.

Concentración de Cl en los suelos: 100 mg/l.

Concentración de Zn en los suelos: 100 mg/l.

Concentración de Cl en los suelos: 100 mg/l.

Concentración de Zn en los suelos: 100 mg/l.

Concentración de Cl en los suelos: 100 mg/l.

Concentración de Zn en los suelos: 100 mg/l.

Concentración de Cl en los suelos: 100 mg/l.

Concentración de Zn en los suelos: 100 mg/l.

Concentración de Cl en los suelos: 100 mg/l.

Concentración de Zn en los suelos: 100 mg/l.

Concentración de Cl en los suelos: 100 mg/l.

Concentración de Zn en los suelos: 100 mg/l.

Concentración de Cl en los suelos: 100 mg/l.

Concentración de Zn en los suelos: 100 mg/l.

Concentración de Cl en los suelos: 100 mg/l.

Concentración de Zn en los suelos: 100 mg/l.

Concentración de Cl en los suelos: 100 mg/l.

Concentración de Zn en los suelos: 100 mg/l.

Concentración de Cl en los suelos: 100 mg/l.

Concentración de Zn en los suelos: 100 mg/l.

Concentración de Cl en los suelos: 100 mg/l.

Concentración de Zn en los suelos: 100 mg/l.

Concentración de Cl en los suelos: 100 mg/l.

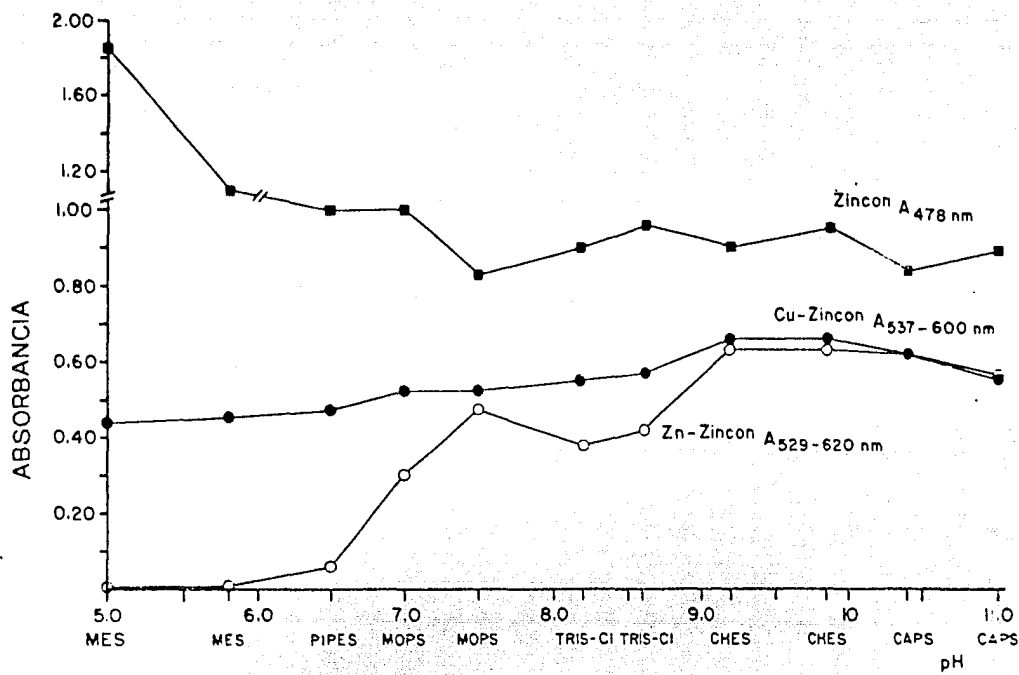


Fig. 3.3 Perfiles de pH para Zincon, Zn-Zincon y Cu-Zincon.

Condiciones: Amortiguador 500 mM pH indicado en el eje X, Zn-Zincon y Cu-Zincon 1:1 40 μ M cada especie, vol. final 3 ml.

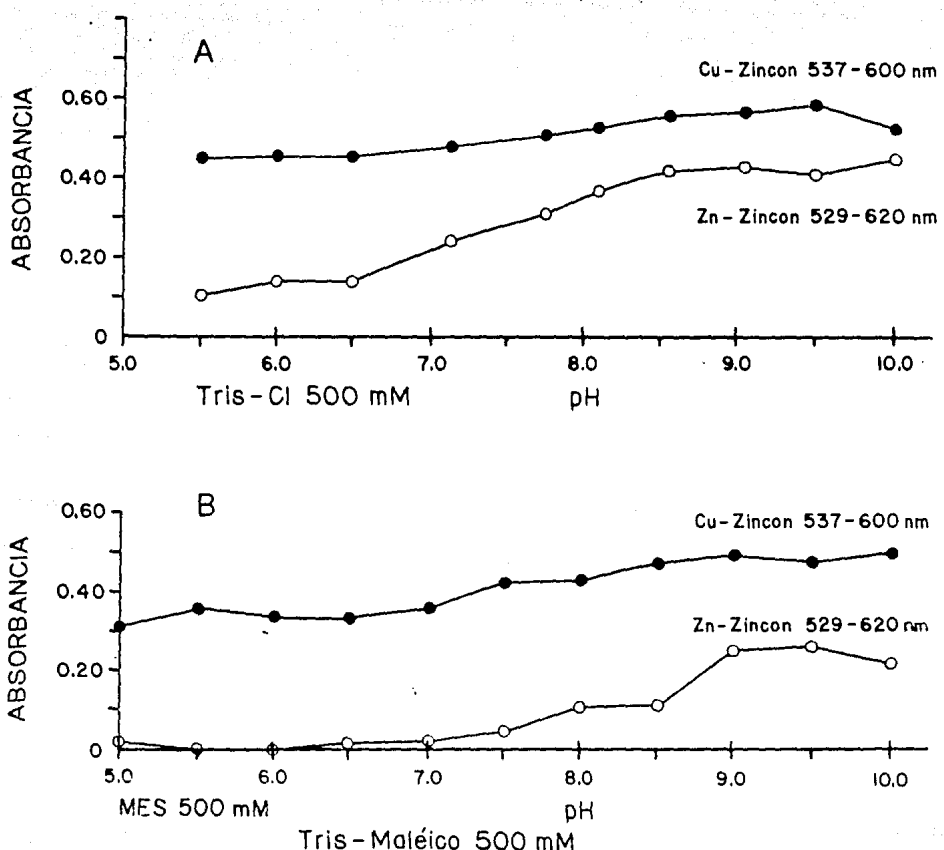
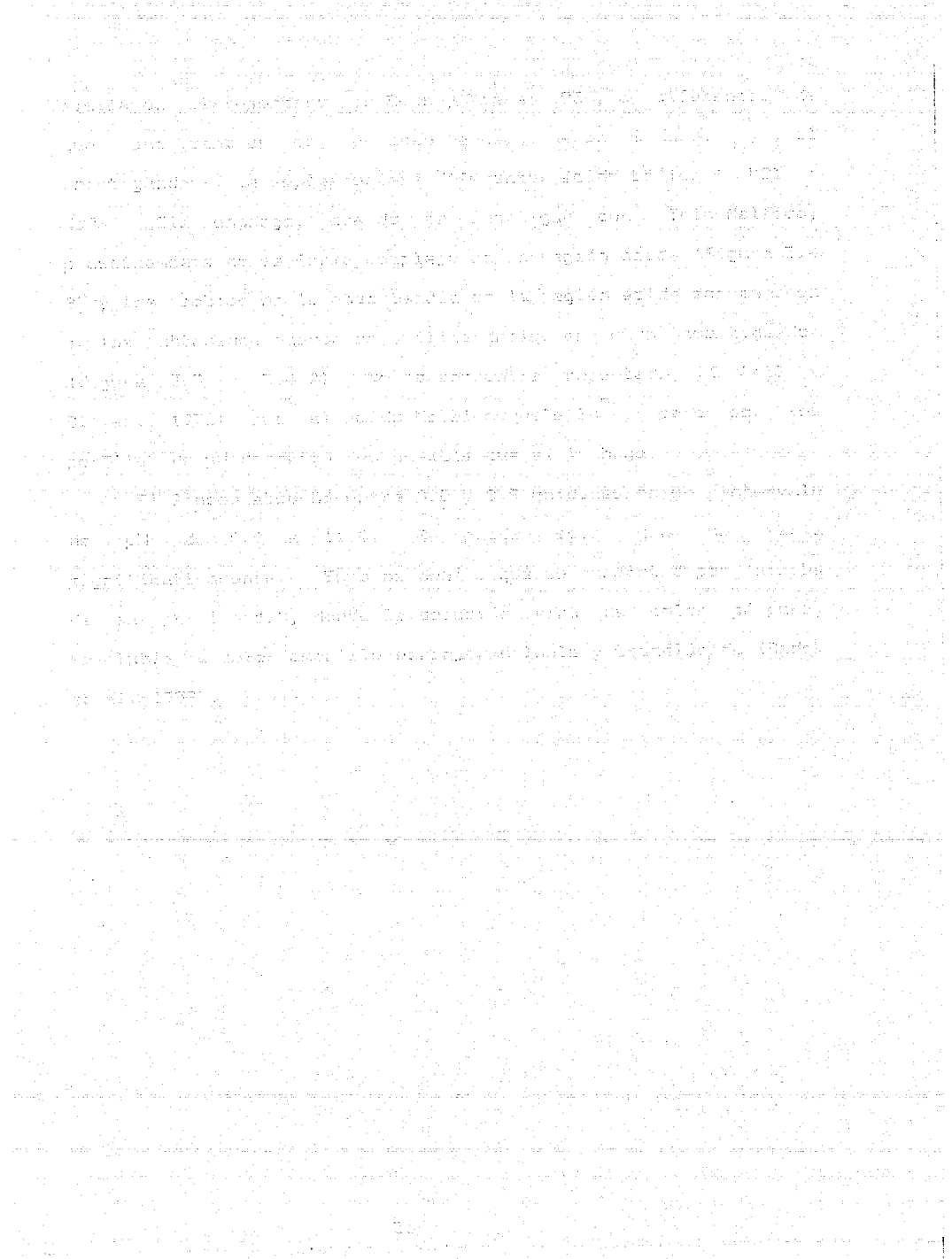


Fig. 3.4 Perfiles de pH para Zn-Zincon y Cu-Zincon.

Condiciones: A, Tris-HCl 500 mM; B, MES 500 mM pH 5.0 y 6.5, Tris-Maleíco 500 mM pH 6.0 a 10.0; Zn-Zincon y Cu-Zincon 1:1, 40 μ M cada especie, vol. final 3 ml.



22. Descripción de los complejos
de fibrina y su síntesis

La fibrina es una proteína de alta densidad que se encuentra en la sangre y en el plasma. Es una fibra de proteína que se forma cuando el factor XII se activa por la trombina. La fibrina es un polímero de proteínas que se une a las plaquetas y a las células sanguíneas para formar un coágulo. La fibrina es una proteína que se encuentra en la sangre y en el plasma. Es una fibra de proteína que se forma cuando el factor XII se activa por la trombina. La fibrina es un polímero de proteínas que se une a las plaquetas y a las células sanguíneas para formar un coágulo. La fibrina es una proteína que se encuentra en la sangre y en el plasma. Es una fibra de proteína que se forma cuando el factor XII se activa por la trombina. La fibrina es un polímero de proteínas que se une a las plaquetas y a las células sanguíneas para formar un coágulo. La fibrina es una proteína que se encuentra en la sangre y en el plasma. Es una fibra de proteína que se forma cuando el factor XII se activa por la trombina. La fibrina es un polímero de proteínas que se une a las plaquetas y a las células sanguíneas para formar un coágulo. La fibrina es una proteína que se encuentra en la sangre y en el plasma. Es una fibra de proteína que se forma cuando el factor XII se activa por la trombina. La fibrina es un polímero de proteínas que se une a las plaquetas y a las células sanguíneas para formar un coágulo. La fibrina es una proteína que se encuentra en la sangre y en el plasma. Es una fibra de proteína que se forma cuando el factor XII se activa por la trombina. La fibrina es un polímero de proteínas que se une a las plaquetas y a las células sanguíneas para formar un coágulo.

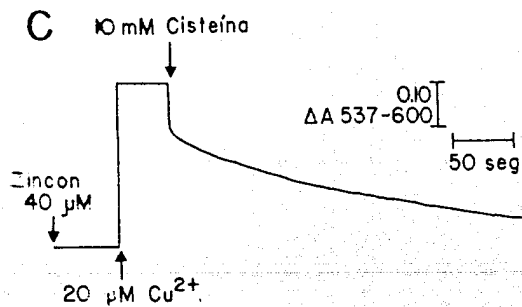
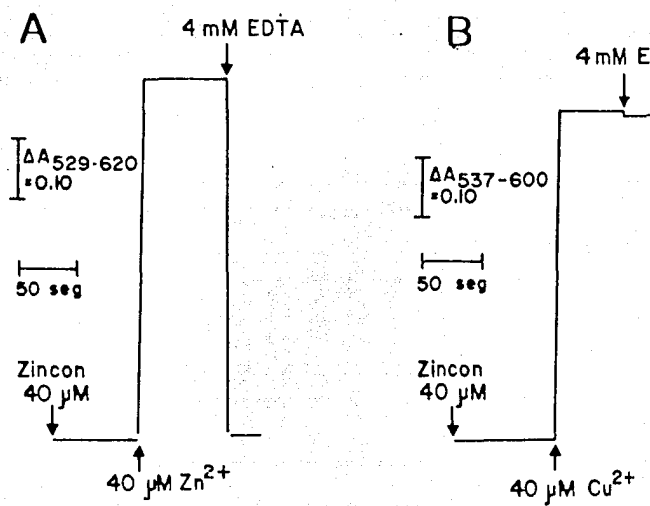


Fig. 7.5 Reversibilidad de los complejos Zn-Zincon y Cu-Zincon.

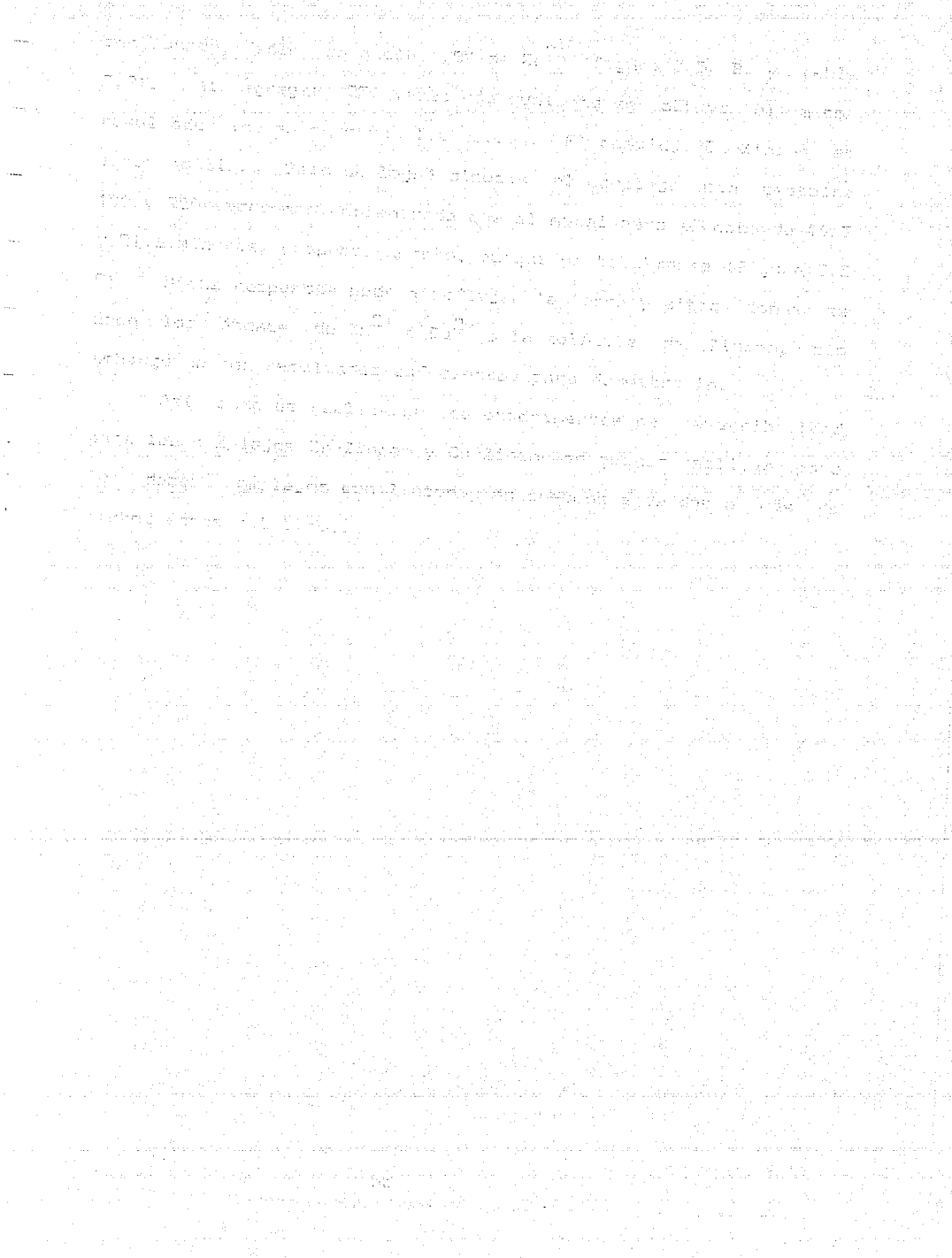
Condiciones: Zincon 40 μM Tris-HCl 50 mM pH 8.2 y las concentraciones de EDTA, EGTA y Cisteína indicados, vol. final 3 ml.

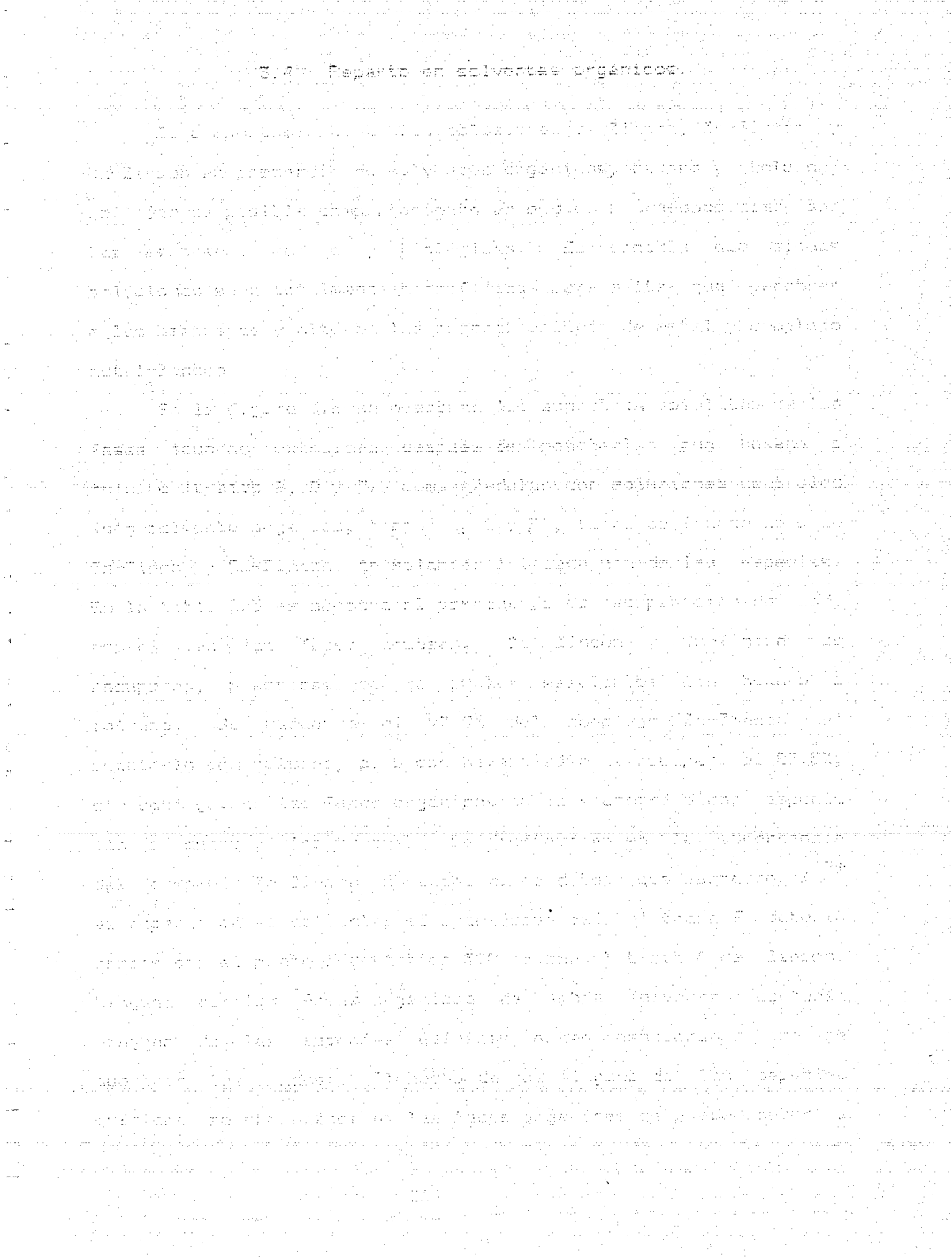
Tabla 3.2

Efecto de los agentes quelantes sobre
los complejos Zn-Zincon y Cu-Zincon

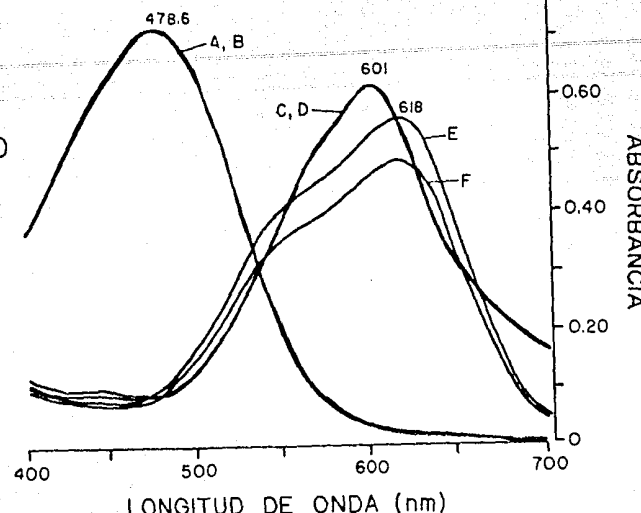
Metal	% metal quelado con:							
	EDTA		EGTA		NTA		CISTEINA	
	4 mM	10 mM	4 mM	10 mM	4 mM	4 mM	4 mM	10 mM
Zn ²⁺	96.9	-	98.3	97.5	96.5	-	-	-
Cu ²⁺	1.85	1.83	1.85	-	1.83	99.3*	96.3@	

Condiciones: Zincon 40 μ M Tris-HCl 50 mM pH 8.2, vol. final 3 ml; EDTA, EGTA, NTA y Cisteína 4 mM y 10 mM cada uno, conc. final; Zn²⁺ y Cu²⁺ 40 μ M, conc. final. Datos obtenidos por espectrofotometría de doble haz, modo dual, a 529-620 nm para Zn-Zincon y 537-600 nm para Cu-Zincon. (-) no se determinó; (*) en 44.3 min; (@) en 21.6 min.





HEXANO



TOLUENO

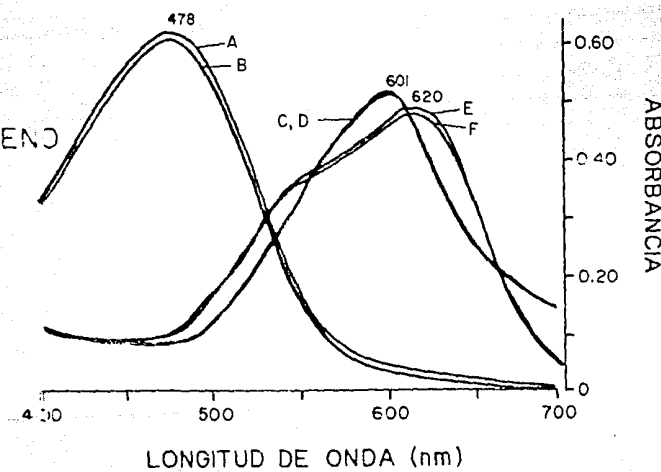


Fig. 2.5 Espectro en solventes orgánicos. Espectros absolutos.
A, C y E Zincon, Cu-Zincon y Zn-Zincon 1:1, 40 μ M cada especie,
Tris-HCl 50 mM pH 8.2, vol. final 3 ml; B, D y F fase acuosa
extraída de la mezcla con 3 ml hexano o tolueno (ver secc. 2.3
del Capítulo I Materiales y Métodos)

Tabla 3.3

**Reparto del Zincon y los complejos Metal-Zincon
en solventes orgánicos**

Solvente	% de recuperación en la fase acuosa		
	Zincon	Zn-Zincon	Cu-Zincon
Hexano	100	87.5	100
Tolueno	98.3	97.9	100

Condiciones: Cada tubo de ensayo contiene 3 ml de Zincon 40 μ M, Zn-Zincon o Cu-Zincon (1:1 cada especie), Tris-HCl 50 mM pH 8.2 y 3 ml de solvente. Se agitaron vigorosamente por 1 min, se dejaron en reposo 20 min y se centrifugaron a 15000 rpm 5 min. Ambas fases se separaron y cuantificaron en un espectrofotómetro de doble haz, trazando espectros absolutos en barrido de 400 a 700 nm. Las fases orgánicas no mostraron cambios en la absorbancia en ningún caso.

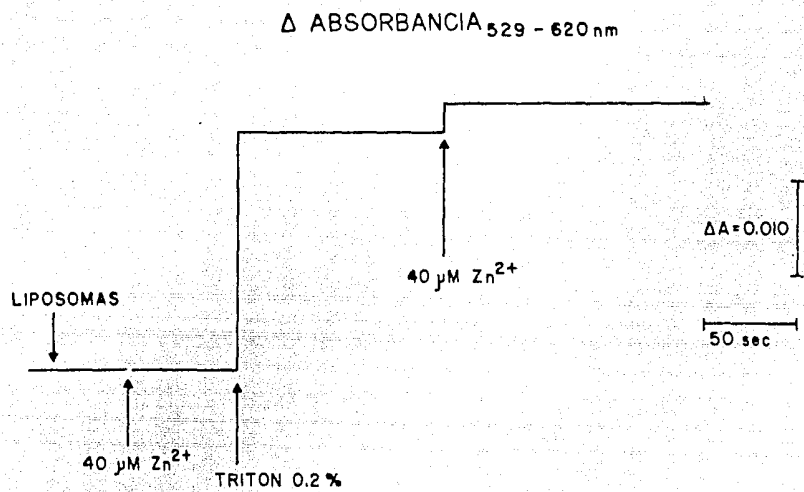
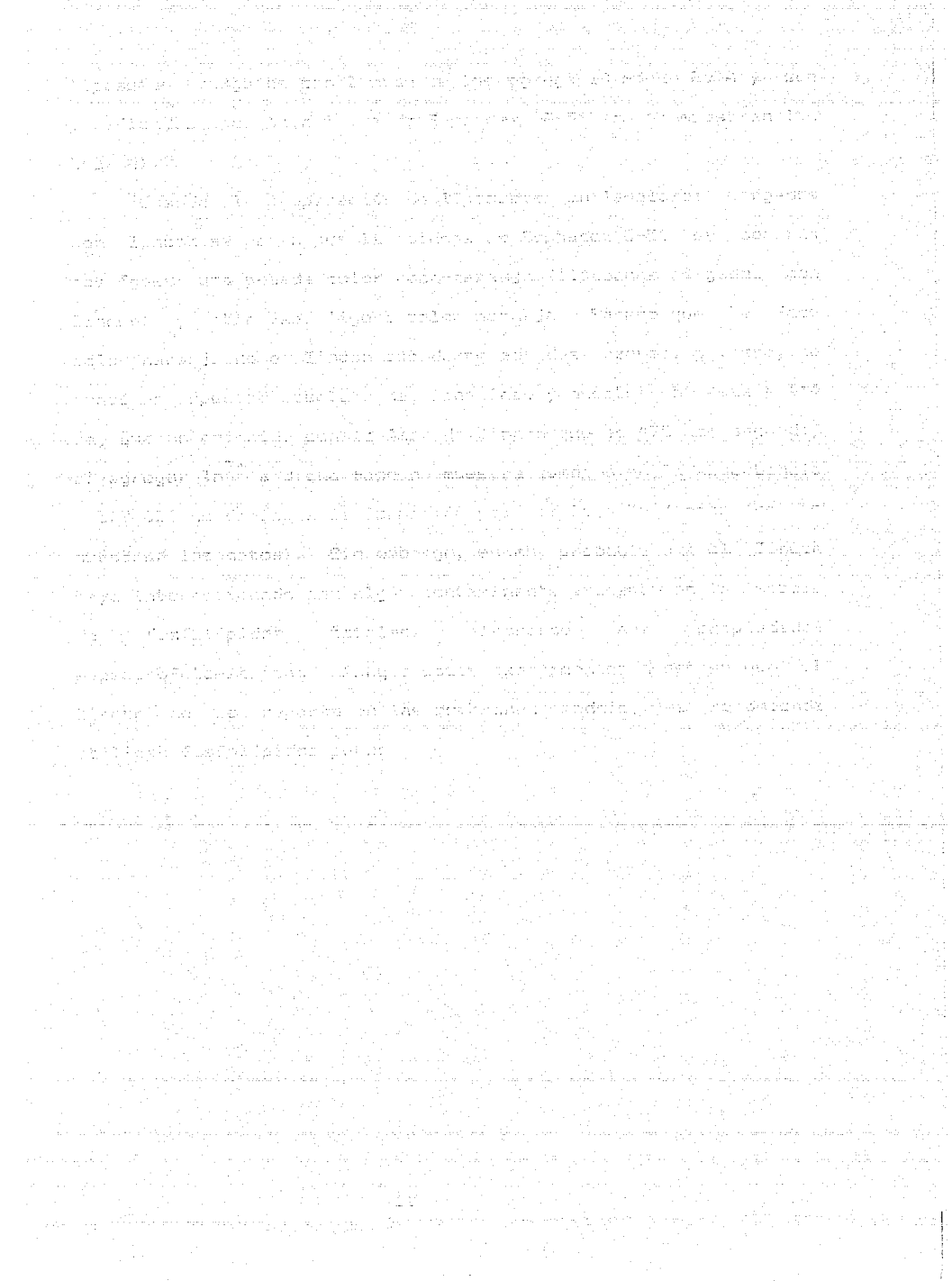


Fig. 3.7 Interacción con membranas modelo (liposomas). Espectro diferencial a 529-620 nm de los cambios en la absorbancia después de agregar Zn^{2+} y Triton X-100 0.2% a liposomas cargados con Zincon, Tris-HCl 50 mM Sacarosa 150 mM pH 8.2, vol. final 3 ml.



3.6 Interpretación de los resultados en las membranas biológicas

En la figura 3 se observan los resultados obtenidos para la interpretación de los datos de los experimentos realizados con membranas biológicas. En la figura 3a se observa la actividad de la membrana biológica en función del tiempo de exposición a la radiación. La actividad de la membrana biológica disminuye con el tiempo de exposición, lo cual es consistente con lo que se observó en la membrana artificial. Sin embargo, la actividad de la membrana biológica es más alta que la actividad de la membrana artificial en todos los momentos de exposición. En la figura 3b se observa la actividad de la membrana biológica en función de la dosis de radiación. La actividad de la membrana biológica disminuye con la dosis de radiación, lo cual es consistente con lo que se observó en la membrana artificial. Sin embargo, la actividad de la membrana biológica es más alta que la actividad de la membrana artificial en todos los momentos de exposición. En la figura 3c se observa la actividad de la membrana biológica en función de la concentración de la muestra. La actividad de la membrana biológica disminuye con la concentración de la muestra, lo cual es consistente con lo que se observó en la membrana artificial. Sin embargo, la actividad de la membrana biológica es más alta que la actividad de la membrana artificial en todos los momentos de exposición.

3.7 Interpretación de los resultados en las membranas artificiales

En la figura 4 se observan los resultados obtenidos para la interpretación de los datos de los experimentos realizados con membranas artificiales. En la figura 4a se observa la actividad de la membrana artificial en función del tiempo de exposición a la radiación. La actividad de la membrana artificial disminuye con el tiempo de exposición, lo cual es consistente con lo que se observó en la membrana biológica. Sin embargo, la actividad de la membrana artificial es más alta que la actividad de la membrana biológica en todos los momentos de exposición. En la figura 4b se observa la actividad de la membrana artificial en función de la dosis de radiación. La actividad de la membrana artificial disminuye con la dosis de radiación, lo cual es consistente con lo que se observó en la membrana biológica. Sin embargo, la actividad de la membrana artificial es más alta que la actividad de la membrana biológica en todos los momentos de exposición. En la figura 4c se observa la actividad de la membrana artificial en función de la concentración de la muestra. La actividad de la membrana artificial disminuye con la concentración de la muestra, lo cual es consistente con lo que se observó en la membrana biológica. Sin embargo, la actividad de la membrana artificial es más alta que la actividad de la membrana biológica en todos los momentos de exposición.

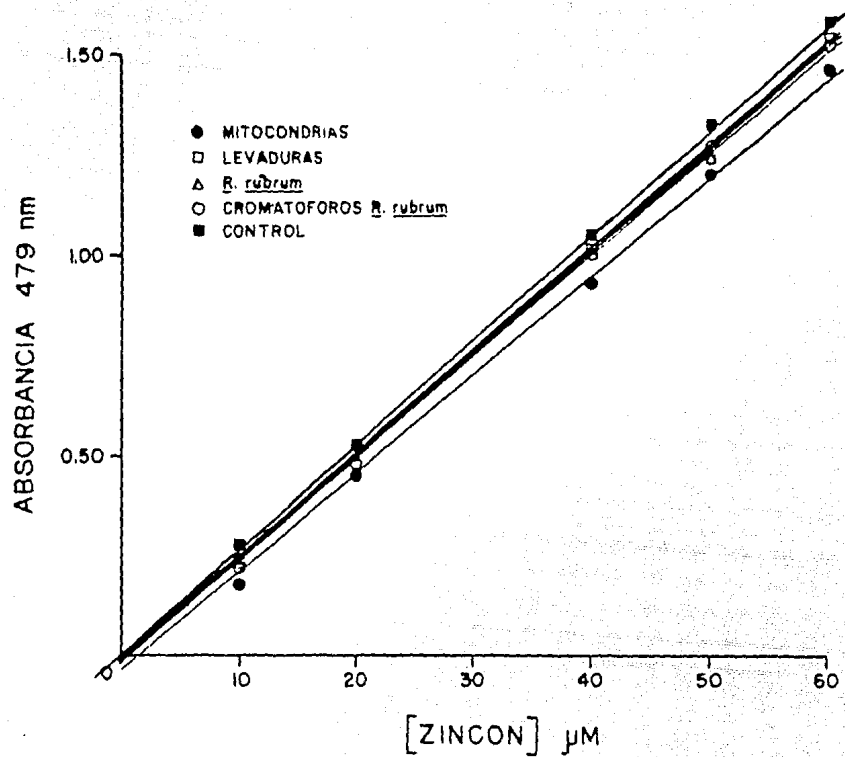


Fig. 3.8 Interacción con membranas biológicas. Condiciones: cada tubo contiene la conc. de Zincon indicada en el eje X, Tris-HCl 50 mM pH 8.2, vol. final 2 ml. Cada membrana se incubó 5 min, las mitocondrias, levaduras y bacterias se centrifugaron 20 min a 15000 rpm a 4°C, los cromatóforos se centrifugaron 1.3 hr a 40000 rpm a 4°C. El sobrenadante se leyó a 479 contra el control (sin membranas).

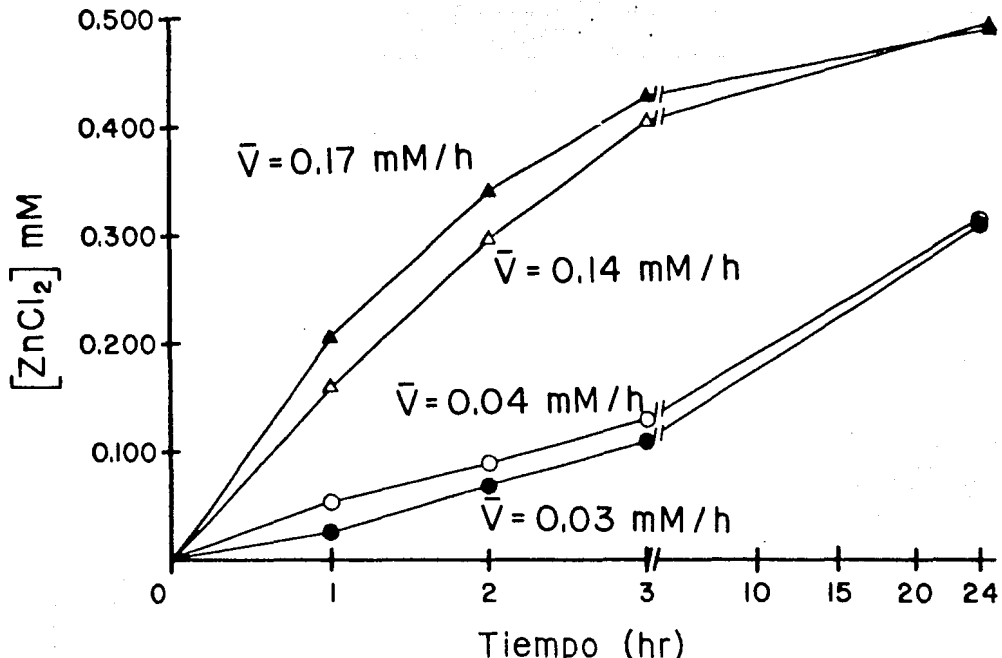
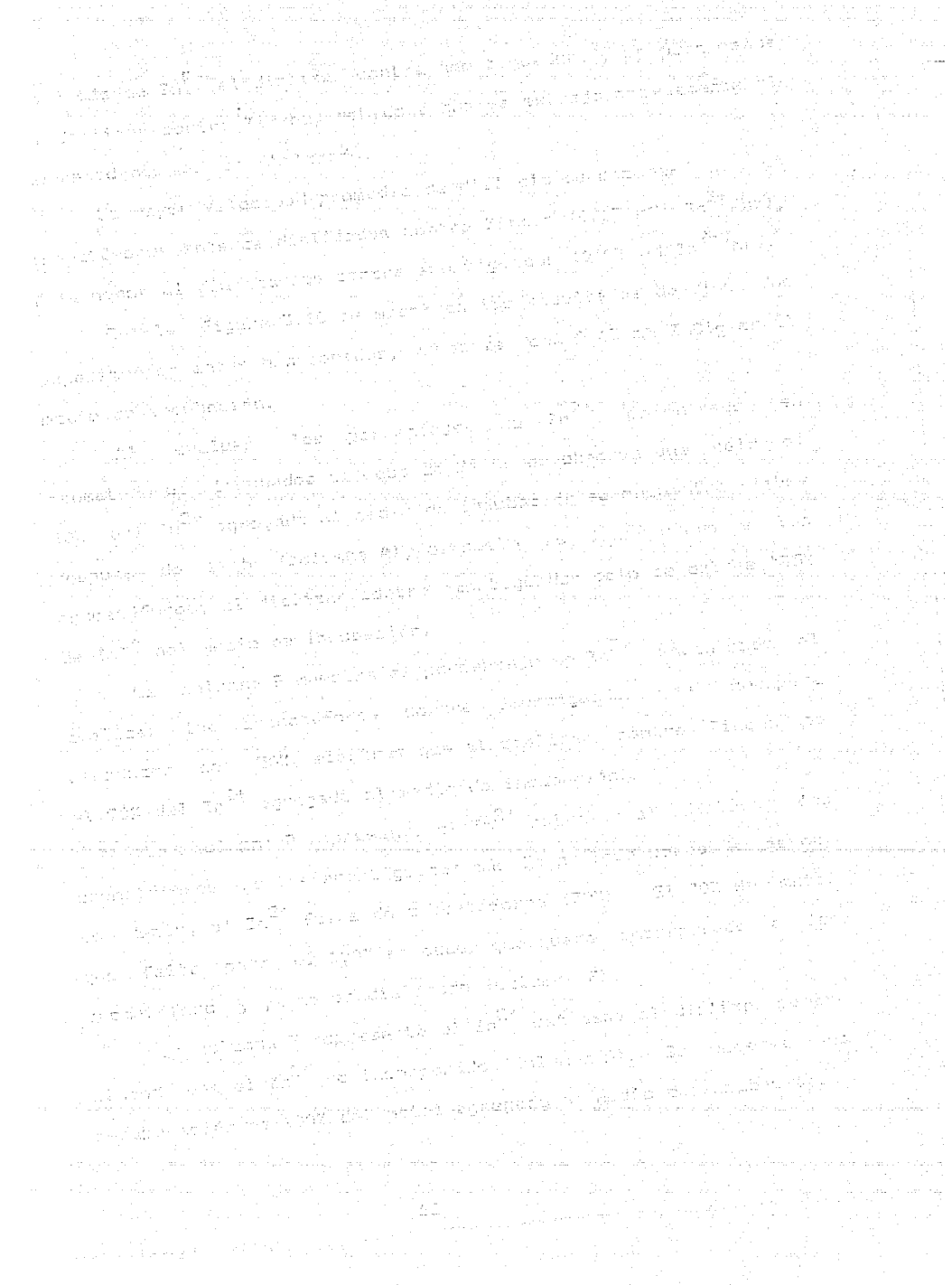


Fig. 3.9 Incorporación de Zn^{2+} a cromatóforos de Rs. rubrum dializados contra Zincon o amortiguador. Condiciones: ver diagrama de flujo 1 de la secc. 2.6 del Capítulo 2. Cromatóforos enteros dializados contra: ●, Tris-HCl 50 mM pH 8.2; ▲, Zincon 40 μM Tris-HCl 50 mM pH 8.2; Cromatóforos solubilizados y dializados contra: ○, amortiguador, Δ , Zincon 40 μM Tris-HCl 50 mM pH 8.2; V (Zn^{2+} mM/hr) dentro de las 3 primeras horas.



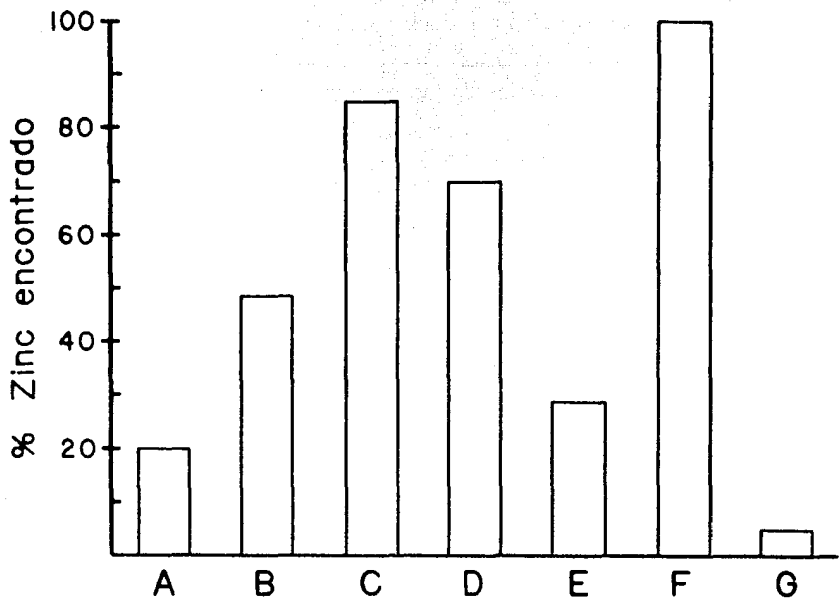
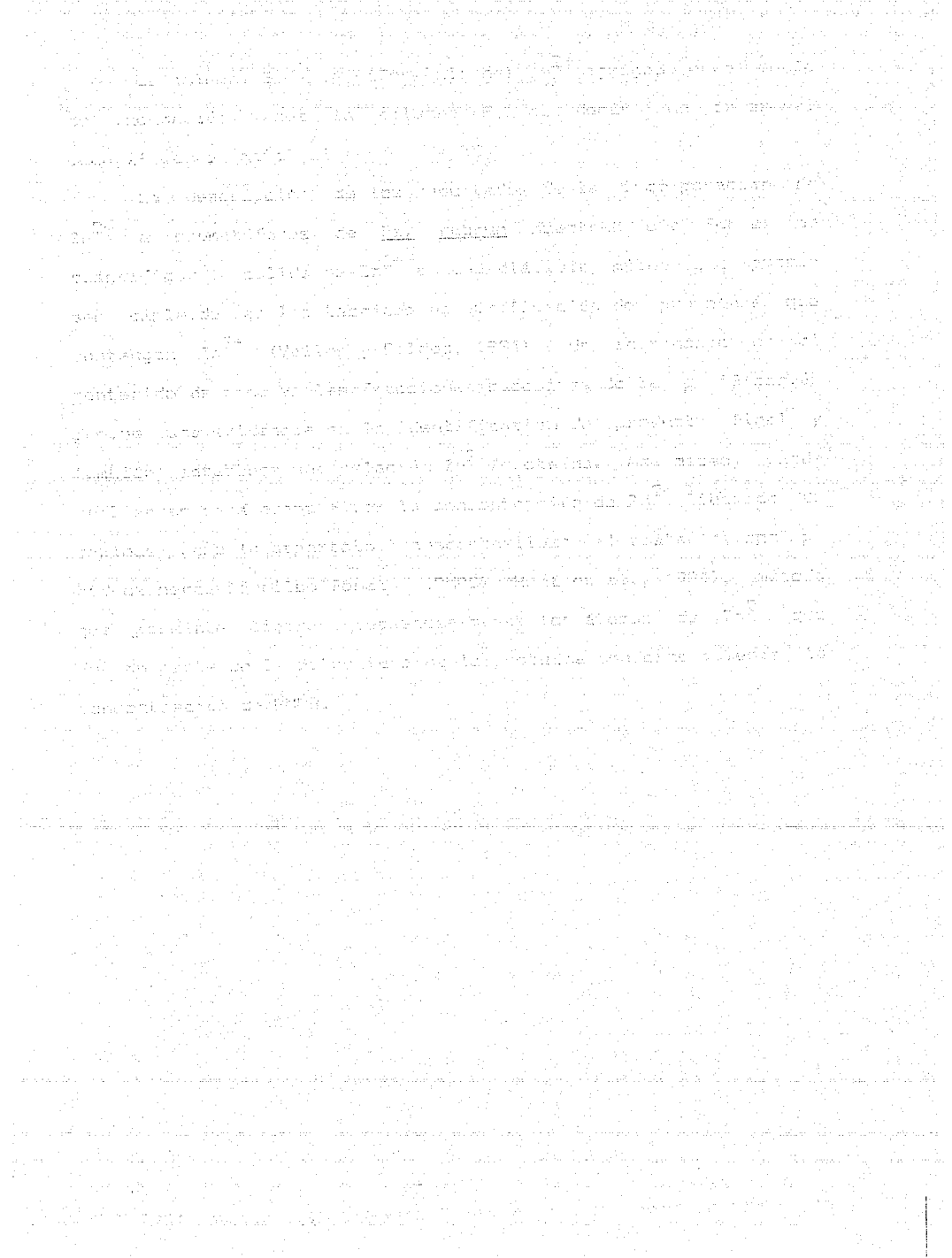


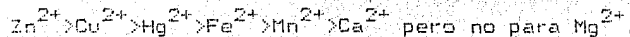
Fig. 3.10 Porcentaje de Zn^{2+} encontrado al cabo de 24 hr en cromatóforos enteros incubados con Zn^{2+} . Condiciones: ver diagrama de flujo 1 de la secc. 2.6 Capítulo 2 Materiales y Métodos. A, sobrenadante del medio de incubación; B, dializado contra Tris-HCl 50 mM pH 8.2; C, dializado contra Zincon 40 μM Tris-HCl 50 mM pH 8.2; D, suma de lo encontrado en A y B (Zn^{2+} fuera del cromatóforo); E, diferencia del medio de incubación menos D (Zn^{2+} dentro del cromatóforo); F, suma de lo encontrado en A y C (Zn^{2+} fuera del cromatóforo); G, diferencia del medio de incubación menos F (error al cuantificar).



CONCLUSIONES

El metalocrómico Zincon es un reactivo útil para cuantificar Zn^{2+} por varias razones:

a) Es selectivo para un grupo reducido de iones metálicos:



b) Debido a que la K_d por Zn^{2+} y Cu^{2+} son muy pequeñas ($\sim 60-40 \mu M$) permiten cuantificar dichos iones metálicos desde $2.5 \mu M$ hasta $40-60 \mu M$. A pesar de que estos valores de K_d podrían alterar las concentraciones del ion metálico libre, es posible utilizar muy poco Zincon para cuantificarlos, ya que ambos complejos, Zn-Zincon y Cu-Zincon, poseen altos valores de ΔE , es decir, con muy poco metalocrómico se producen grandes cambios en la absorbancia al formar el complejo metal-metalocrómico. En el caso del complejo Hg-Zincon se puede decir que el Zincon es ideal para cuantificar dicho metal porque los valores de K_d y ΔE son muy altos y el complejo es estable por dos horas.

c) El Zincon se puede utilizar para cuantificar Ca^{2+} , Fe^{2+} y Mn^{2+} pero teniendo en cuenta que los complejos son inestables, por lo que la titulación debe hacerse a intervalos de 1 min. Los iones metálicos Mg^{2+} y Ca^{2+} no interfieren considerablemente en la formación del complejo Zn-Zincon.

c) Una ventaja que posee este método, en comparación con otros metodologías, es que la cuantificación de Zn^{2+} , Cu^{2+} y Hg^{2+} se hacen en un sólo paso, a temperatura ambiente, sin periodos de incubación, sin la intervención de otras reacciones químicas para formar los complejos, no es un método destructivo y no es caro.

sin embargo, es importante utilizar material de laboratorio completamente limpio (bien envasado con agujas blindadas y libre de polvo es suficiente) y preparar las soluciones con agua bidestilada, ya que es común encontrar contaminaciones por cobre proveniente de la tubería del agua. Por otro lado, las soluciones de Zincon son estables si se congelan a 0°C o -70°C después de utilizarlas.

d) Es posible cuantificar Zn^{2+} por arriba de pH 7.0 -7.5 independientemente del amortiguador empleado; sin embargo, con Tris-HCl 500 mM se puede hacer desde pH 6.0. No existe ningún problema para cuantificar Cu^{2+} desde pH 5.0 hasta pH 11.0 con cualquiera de los amortiguadores utilizados en este trabajo.

e) Debido a que la reversibilidad de los complejos In-Zincon y Cu-Zincon son muy diferentes (aunque en teoría debería ser similar debido a los valores de K_{a} de éstos), el segundo puede alterar las concentraciones de Cu^{2+} libre en forma irreversible.

f) El Zincon, In-Zincon y Cu-Zincon no son solubles ni en hexano (solvente alifático) ni en tolueno (solvente aromático); el Zincon no atraviesa membranas modeladas y no se une a éstas ni a membranas biológicas, por lo que es posible cuantificar Zn^{2+} en sistemas biológicos sin problemas de que el reactivo o el complejo se introduzca a la membrana o se adhiera a ella, situación que podría alterar las lecturas del método.

g) Una forma de utilizar este metalocrómico es acelerando la salida de Zn^{2+} al dializar muestras que contengan dicho ion metálico. Esta metodología no es nueva ni revolucionaria, ya que es común utilizar agentes quelantes para extraer metales de muestras al dializar. Sin embargo, utilizando Zincon es posible

se deducir inmediatamente la cantidad de Zn^{2+} que se dializa y entonces queda en la muestra, por medio de espectrofotometría de una o dos fuentes luminosas; o puede extraerse solo Zn^{2+} , Cu^{2+} o Hg^{2+} de muestras que además contengan Ca^{2+} y Hg^{2+} , pero no Fe^{2+} o Mn^{2+} .

El estudio detallado de los metalocromícos, en este caso del Zircon, aparentemente ajeno a la Biología, abre nuevas puertas al estudio de la función de los metales de transición en los organismos y son una vía de acercamiento de dos ciencias que cada día están más interrelacionadas: la Química y la Biología.

REFERENCIAS

- Bell, C. F. (1977) Principles and application of metal chelation. Clarendon Press, Oxford. 147 pp.
- Beyer, W. R. y I. Fridovich (1980) An ultra-sensitive colorimetric assay for Manganese. Anal. Biochem. 170, 512-519.
- Burguer, K. (1973) Organic Reagents in Metal Analysis. In Internat. Series Monographs in Analytical Chemistry. Pergamon Press, Oxford. 268 pp.
- Celis, H. (1984) Reconstitución de la bomba de protones de bacterias fotosintéticas en liposomas. Tesis de Doctorado en Bioquímica. CINVESTAV, IPN. México. 102 pp.
- Celis, H. y I. Romero (1987) The phosphate-pyrophosphate exchange and hydrolytic reactions of Rhodospirillum rubrum: effects of pH and divalent cations. J. Bioenerg. Biomemb. 19, 255-272.
- Chance, B. (1972) Principles of differential spectrophotometry with special reference to the dual wavelength method. Meth. Enzymol. 24V pp. 322-335.
- Clayton, R. W. (1963) Toward isolation of a photochemically reaction center in Ens. sphaeroides. Biochim. Biophys. Acta 75, 312-323.
- Cohen-Bazire, G., W. R. Sistrum y R. Y. Stainer (1957) The kinetic studies of pigment synthesis by non-sulphur purple bacteria. J. Cell Comp. Physiol. 49, 25-68.
- De Kloet, S. R., R. K. A. Van Wermeskerken y V. V. Konigsberg (1961) Studies on protein synthesis by protoplasts of

136-147.

Ucveren, C. (1986) Estudio sobre la interacción del ATPase mitocondrial y su inhibidor natural. Exploración de marcadores fluorescentes. Tesis de Maestría. Fac. Ciencias Químicas, UNAM, México. 80 pp.

Evans, R. M. y S. M. Hollenberg (1988) Zinc fingers: gift by association. *Cell* 52, 1-3.

Harrison, P. M. y R. J. Hoare (1980) Metals in Biochemistry. Chapman and Hall, London. 78 pp.

Horovitz, C. T. (1988) Is the major part of the Periodic System really inessential for life? *J. Trace Elem. Electrolytes Health Dis.* 2, 135-144.

Hunt, J. B., S. H. Neese, H. K. Schachman y A. Ginsburg (1984) Mercurial-promoted Zn^{2+} release from *Escherichia coli* aspartate transcarbamoylase. *J. Biol. Chem.* 259, 14793-14803.

Irving, H. y Williams, R. P. J. (1948) Order of stability of metal complexes. *Nature* 146, 746-747.

Jansen, A. y S. V. Jorgensen (1984) Analytical Chemistry applied to metal ions in the environment. In Metal Ions in Biological Systems. (S. Helmut Ed.) Vol.18 Marcel Dekker, Inc., New York, pp. 5-59.

Jezorek, J. R. y H. Freiser (1979) 4-(pyridilazo)resorcinol-based continuous detection system for trace levels of metal ions. *Anal. Chem.* 51, 373-376.

Kagawa, Y. y E. Racker (1966) Partial resolution of the enzymes catalyzing oxidative phosphorylation. IX Reconstitution of

oligomycin-sensitive triphosphatase. *J. Biol. Chem.* **241**, 2467-2474.

Kupperloch, M. A. y P. I. Anagnostopoulou (1986) Automated flow injection spectrophotometric determination of Zinc using Zincon: applications to analysis of waters, alloys and insulin formulations. *Analyst* **111**, 1311-1315.

Lehninger, A. (1975) *Biochemistry*. Worth Publishers, Inc., New York, 1104 pp.

Löwry, J. R. et al. (1954) Uptake of radiozinc by normal and diabetic rat pancreas. *Science* **119**, 219-220.

Lowry, O. H., N. J. Rosenberg, A. L. Farr y R. J. Randall (1951) Protein measurement with the folin phenol reagent. *J. Biol. Chem.* **193**, 265-275.

Martell, A. E. y L. G. Sillen (1971) *Stability constants of metal-ion complexes*. The Chemical Society, London, 865 pp.

Morris, A. G. (1957) The use of Zincon in absorptiometric determination of Mercury. *Analyst* **82**, 34-37.

Mooradian, A. D. y J. E. Morley (1987) Micronutrient status in diabetes mellitus. *Amer. J. Clin. Nutr.* **45**, 877-895.

Ohya, H. y Y. Komai (1988) Zinc uptake of Curtobacterium possessing ω -cyclohexyl fatty acids and zinc-binding activity of its membrane. *FEMS Microbiol. Lett.* **51**, 163-168.

Olsen, E. D. (1975) *Modern Optical Methods of Analysis*. McGraw Hill, Co., New York. 629 pp.

Ono, H. y A. Ito (1984) Transport of the sulfite oxidase into intermembrane space of liver mitochondria: characterization of import and processing activities. *J. Biochem.* **95**, 345-

- Pine, S. H., J. B. Hendrickson, D. J. Gram y G. S. Hammond (1980) Química Orgánica (4º edición). McGraw Hill Co., Madrid, 1086 pp.
- Rush, R. y J. H. Yoe (1954) Colorimetric determination of Zinc and Copper with 2-carboxi-2'-hidroxy-5'-sulfoformazylbenzene acid. Anal. Chem. 26, 1345-1347.
- Sadek, F. S., R. W. Schmidt and C. N. Reilly (1959) Visual EGTA titration of Calcium in the presence of Magnesium. Talanta 2, 38-51.
- Sandell, E. B. (1950) Colorimetric determination of traces of metals. 2nd ed. Interscience Publishers, New York.
- Scarpa, A. (1974) Indicators of free Magnesium in biological systems. Biochemistry 13, 2789-2794.
- Scarpa, A., F. J. Brinley y G. Dubyak (1978) Antipyrrilazo III, "A middle range" Ca^{2+} metallochromic indicator. Biochemistry 17, 137B-1384.
- Scarpa, A. (1979) Measurements of cation transport with metallochromic indicators. Meth. Enzymol. 56 pp. 301-338.
- Shibata, S. (1972) In "Chelates in Analytical Chemistry" (H. Flaschka y A. J. Barnard, Ed.) Vol.4 Marcel Dekker, Inc., New York, pp 116-183.
- Smith, A. L. (1967) Preparation, properties and conditions for assay of Mitochondria: Slaughterhouse material, small-scale. Meth. Enzymol. 10, New York. pp.81-86.
- Vallee, B. y A. Galdeas (1984) The Metalobiochemistry of Zinc

- in this study. In *Zinc Enzymes*. Bertini et al., Eds. Marcel Dekker, New York, pp. 383-416.
- Vatne, E. (1986) In *Zinc Enzymes Chapter 11*. (Bertini et al. Eds.) *Progress in Inorganic Biochemistry and Biophysics*. Birkhauser Boston Inc., 440 pp.
- Weillon C. y B. L. Vallee (1978) Atomic spectroscopy in metal analysis of enzymes and other biological materials. *Meth. Enzymol.* 54, 446-484.
- Weast R. C. Ed. (1968) *Handbook of Chemistry and Physics* 49th edition. The Chemical Rubber Co., Ohio.
- Williams, R. J. P. (1985) The symbiosis of metal and protein functions. *Eur. J. Biochem.* 150, 231-248.